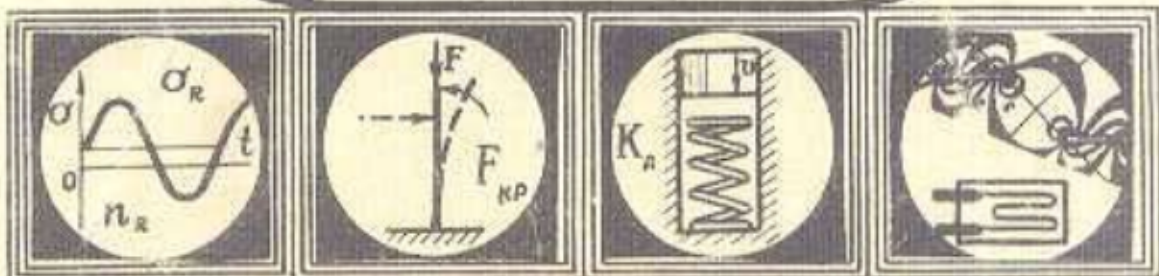


САМОСТОЯТЕЛЬНАЯ РАБОТА  
СТУДЕНТОВ ПО ДИСЦИПЛИНЕ  
"СОПРОТИВЛЕНИЕ МАТЕРИАЛОВ"

**M**



МИНИСТЕРСТВО ВЫСШЕГО И СРЕДНЕГО  
СПЕЦИАЛЬНОГО ОБРАЗОВАНИЯ РСФСР  
ТОЛЬЯТТИНСКИЙ ПОЛИТЕХНИЧЕСКИЙ ИНСТИТУТ  
Кафедра «СОПРОТИВЛЕНИЕ МАТЕРИАЛОВ»

Карабченцева Т. Г.

САМОСТОЯТЕЛЬНАЯ РАБОТА  
СТУДЕНТОВ ПО ДИСЦИПЛИНЕ  
СОПРОТИВЛЕНИЕ МАТЕРИАЛОВ

Методические указания



Тольятти 1988

УДК 620.1 (076)

Содержатся опорные схемы, алгоритмы расчётов и рефераты по темам растяжение-сжатие, кручение, сдвиг, изгиб курса "Сопротивление материалов", а также расчетно-проектировочные и контрольные задания для самостоятельной работы студентов.

Автор-разработчик

Караченцева Т.Г.

Научный редактор

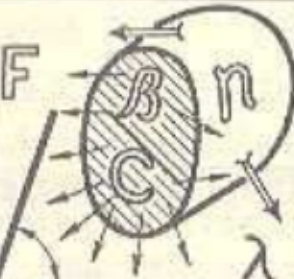
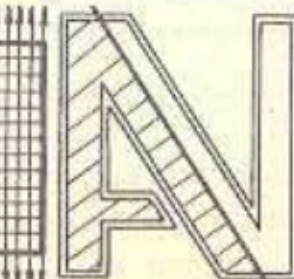
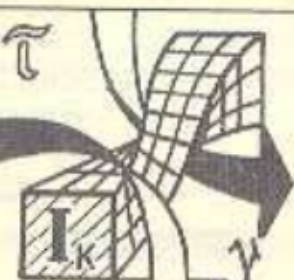
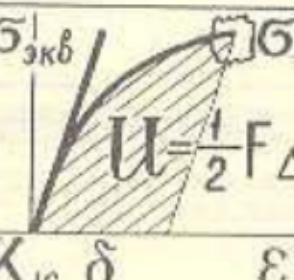
Горшинич В.Ф.

Утверждено редакционно-издательской секцией методического совета института.



Тольяттинский политехнический  
институт, 1988

## СОДЕРЖАНИЕ

<b>МАТЕРИАЛ СИЛА</b>	<b>1</b> 	<b>РПР К</b>  <b>Тема 1. Основные задачи и понятия дисциплины</b> <u>Расчетно-проектировочное задание</u>  <b>Контрольное задание</b>
<b>ПЕРЕМЕНЩИЕ ДЕФОРМАЦИИ</b>	<b>2</b> 	<b>РПР К</b>  <b>Тема 2. Растяжение</b> <u>Энергетические методы</u> <u>Расчетно-проектировочное задание</u>  <b>Контрольное задание</b>
<b>ФОРМА СЧЕТЕЛЕ</b>	<b>3</b> 	<b>РПР К</b>  <b>Тема 3. Изгиб. Геометри- ческие характеристики</b> <u>Расчетно-проектировочное задание</u>  <b>Контрольное задание</b>
<b>НАПРЯЖ. СОСТОЯНИЯ НАПРЯЖЕНИЕ</b>	<b>4</b> 	<b>ОДЛ РПР</b>  <b>Тема 4. Напряженное состояние. Кручение</b> <u>Цикл лабораторных работ по тензометрии. Отчет</u> <u>Расчетно-проектировочное задание</u>
<b>ПРОЧНОСТЬ ХЕСТИКОСТЬ</b>	<b>5</b> 	<b>К</b>  <b>Тема 5. Заключение.</b> <u>Комплекс прочностных качеств</u>  <b>Контрольное задание</b>  <b>Приложения</b>



Тема I. ОСНОВНЫЕ ЗАДАЧИ И ПОНЯТИЯ ДИСЦИПЛИНЫ  
"СОПРОТИВЛЕНИЕ МАТЕРИАЛОВ - АЗБУКА И ГРАММАТИКА  
РАСЧЕТОВ НА ПРОЧНОСТЬ" В.И.Феодосьев



Ознакомиться со структурой расчетов прочности.  
Знать метод сечений, принципы, допущения, физические и механические характеристики материалов.  
Уметь строить эпюры ВС, находить опасное сечение.



Внешняя сила  $F(M, q)$ , реакции связей.  
Податливость  $\beta$ . Жесткость ( $C = 1/\beta$ ).  
Перемещение. Деформация. ВС –  
внутренняя сила. Опасное сечение (оп.с).  
Механические свойства материала

Продольная  
Поперечная  
Угловая  
Упругая  
Пластическая  
ДЕФОРМАЦИЯ



Нормальное  
Касательное  
Полное  
Предельное  
Допускаемое  
НАПРЯЖЕНИЕ

Самообучаемость, самостоятельность  
Опора на метод, допущения, эксперимент  
Выбор модели, сечения, материала  
Анализ результатов. Выводы  
Расчетно-проектировочная работа

Уровень напряжений  
≤ допускаемого  
НАДЛЮДНОСТЬ  
ЭКОНОМИЧНОСТЬ  
ПОЛЬЗА



Охарактеризуйте причинно-следственные связи между силой, перемещением, деформацией, напряжением, свойствами материала и прочностью



I. Феодосьев В.И. Сопротивление материалов - М.: Наука. Гл. ред. физ.-мат.лит. 1986. - 512 с.  
К лекции I.2 : /I, § 1, 2, с. 10...15/.  
К лекции I.3 : /I. § 4, 5, 7, с. 21...32/.

## ОСНОВНЫЕ ПОНЯТИЯ. МЕТОД СЕЧЕНИЙ

На опорной схеме I.1 показаны задачи предмета, основные этапы освобождения реального объекта от несущественных особенностей, т.е. переход к расчётной схеме, а также основные принципы, лежащие в основе курса "Сопротивление материалов".

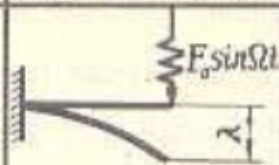
Опорная схема I.2 рассматривается как ключ к изучению деформаций растяжения, изгиба, сдвига и кручения (РИСК). Главная диагональ сверху вниз показывает, что, применяя метод сечений (с.8), можно определить внутренние силовые факторы, закономерности их распределения по длине стержня (с.9,10) и выделить наиболее нагруженные участки или сечения стержней, которые называются опасными. Отношение внутренней силы к геометрической характеристике сечения определяет напряжение как меру распределения внутренних сил по сечению. Напряжения пропорциональны деформациям. Коэффициентом пропорциональности является жесткость материала – модуль продольной упругости или сдвига. Деформации равны отношению внутренней силы к жесткости сечения, которая является произведением жесткости материала и геометрической характеристики сечения. На опорной схеме сведения о деформации располагаются слева, о напряжении – справа.

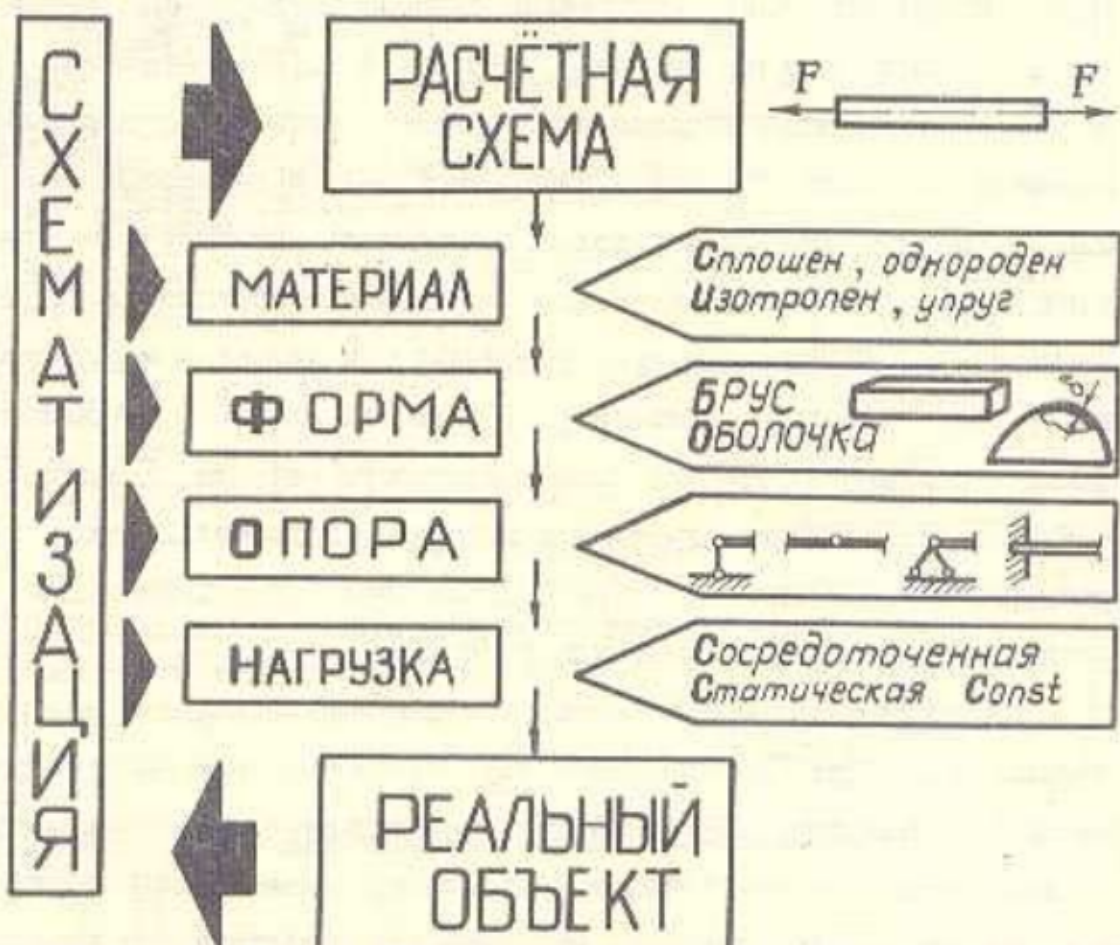
На опорной схеме I.3 показана общая модель расчета на прочность и жесткость линейно-деформируемых систем. При оценке прочностной надежности наибольшие значения внутренних сил, геометрические характеристики сечений, а также допускаемые напряжения устанавливаются на основании механических характеристик материала и нормативов отрасли. Уровень наибольших расчетных напряжений сравнивается с допустимым и делается вывод о работоспособности конструкции (с.12,13).



# НАУКА О ПРОЧНОСТИ И ДЕФОРМИРУЕМОСТИ ЭЛЕМЕНТОВ СООРУЖЕНИЙ И МАШИН

Основная задача – создание методов расчета

ПРОЧНОСТЬ	ЖЕСТКОСТЬ	УСТОЙЧИВОСТЬ	КОЛЕБАНИЯ
Свойство тел сопротивляться разрушению	Свойство тел незначительно деформироваться		



Допущения. Экспериментальные данные

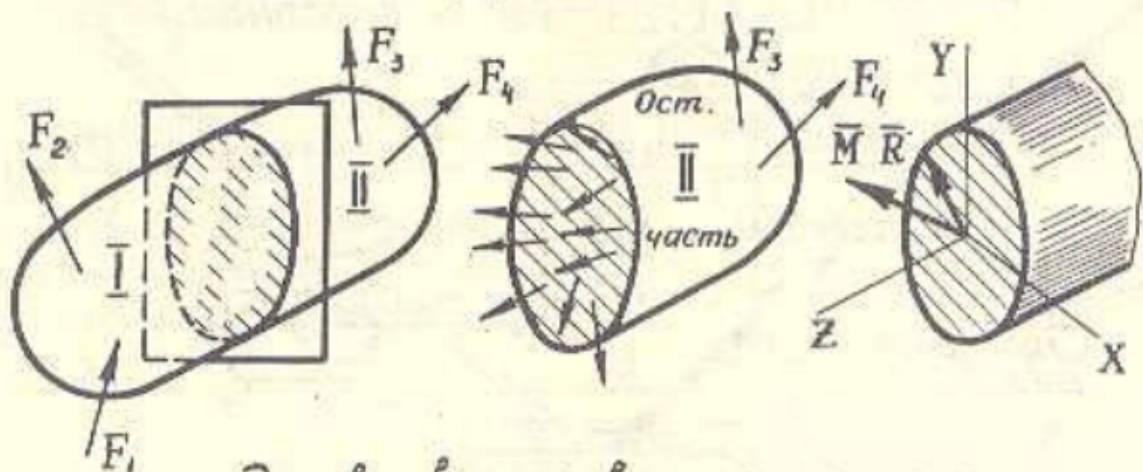
- Сен-Венана
- Линейности системы
- Относительной жесткости
- Независимости действия сил

Опорная схема I.I



ОПОРНАЯ СХЕМА 1.2

# МЕТОД СЕЧЕНИЙ

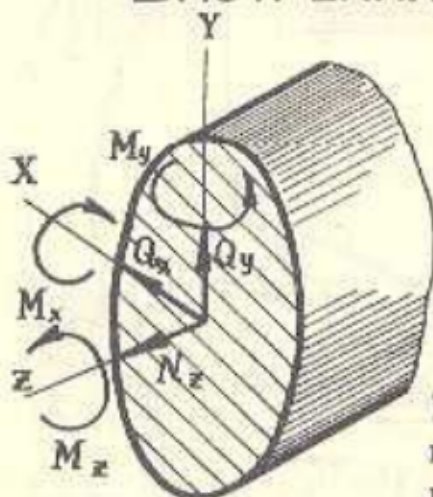


Для выявления внутренних сил:

1. Разделяем мысленно стержень на две части.
2. Отбрасываем одну из частей.
3. Заменяем действие отброшенной части на оставленную внутренними силами.
4. Установливаем проекции  $\bar{R}$  и  $\bar{M}$  на оси, рассматривая равновесие оставленной части.

$$\begin{array}{l} \sum_{\text{осм}} X = 0; \quad \sum_{\text{осм}} Y = 0; \quad \sum_{\text{осм}} Z = 0; \\ \sum_{\text{осм}} M_{ox} = 0; \quad \sum_{\text{осм}} M_{oy} = 0; \quad \sum_{\text{осм}} M_{oz} = 0. \end{array}$$

## ВНУТРЕННИЕ СИЛОВЫЕ ФАКТОРЫ:



$N_z = N$  – продольная сила;

$M_x, M_y$  – изгибающий момент;

$Q_x, Q_y$  – поперечная сила;

$M_z = M_k$  – крутящий момент

ВНУТРЕННИЕ СИЛЫ – дополнительные силы взаимодействия между частями тела, возникающие в результате действия внешних сил.

## ВНУТРЕННИЕ СИЛОВЫЕ ФАКТОРЫ. ПОСТРОЕНИЕ ЭПОВ

Для наглядного представления о характере изменения внутренних силовых факторов и выявления опасного сечения строятся эпюры внутренних сил.

ЭПОРА - ЭТО ГРАФИК, ПОКАЗЫВАЮЩИЙ ИЗМЕНЕНИЕ ВНУТРЕННИХ СИЛ ПО ДЛИНЕ СТЕРЖНЯ.

Порядок построения эпюр :

1. РАЗДЕЛИТЕ СТЕРЖЕНЬ НА УЧАСТКИ. ГРАНИЦАМИ УЧАСТКОВ ЯВЛЯЮТСЯ ТОЧКИ, В КОТОРЫХ ПРОИСХОДИТ ИЗМЕНЕНИЕ ХАРАКТЕРА ПРИЛОЖЕНИЯ НАГРУЗКИ.
2. ЗАПИШИТЕ УРАВНЕНИЯ ДЛЯ ОПРЕДЕЛЕНИЯ ВНУТРЕННЕГО СИЛОВОГО ФАКТОРА ДЛЯ КАКДОГО УЧАСТКА, УКАЗЫВАН ПРЕДЕЛЫ ИЗМЕНЕНИЯ АБСЦИССЫ СЕЧЕНИЯ.
3. ПОДСЧИТАЙТЕ ЗНАЧЕНИЯ ВНУТРЕННИХ СИЛОВЫХ ФАКТОРОВ В ХАРАКТЕРНЫХ СЕЧЕНИЯХ.
4. ОТЛОЖИТЕ НА ГРАФИКЕ ПО ОСИ ОРДИНАТ ВЪЗВЕРХ ПОЛОЖИТЕЛЬНЫЕ ЗНАЧЕНИЯ, ВНИЗ - ОТРИЦАТЕЛЬНЫЕ.

Ось абсцисс эпюры располагают параллельно оси стержня.

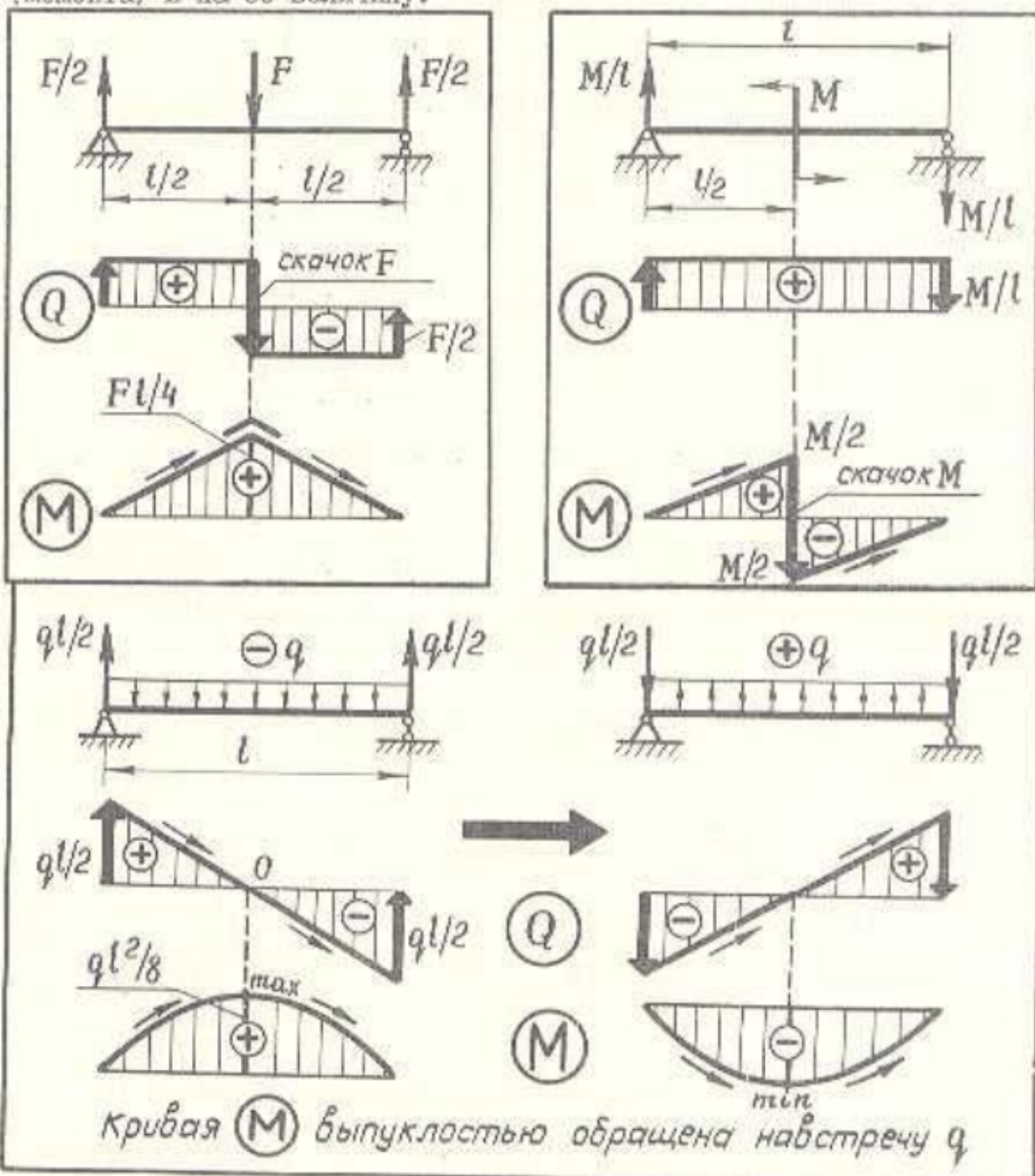
При построении эпюры по характерным сечениям второй этап построения опускается.

## ДИФФЕРЕНЦИАЛЬНЫЕ ЗАВИСИМОСТИ СТАТИКИ СТЕРЖНЕЙ

$$\begin{aligned}\frac{dM_x}{dz} &= Q_y, \quad \frac{dQ_y}{dz} = q_y, \quad \frac{dN}{dz} = q_z, \\ \frac{dM_y}{dz} &= Q_x, \quad \frac{dQ_x}{dz} = q_x, \quad \frac{dM_K}{dz} = m_z\end{aligned}$$

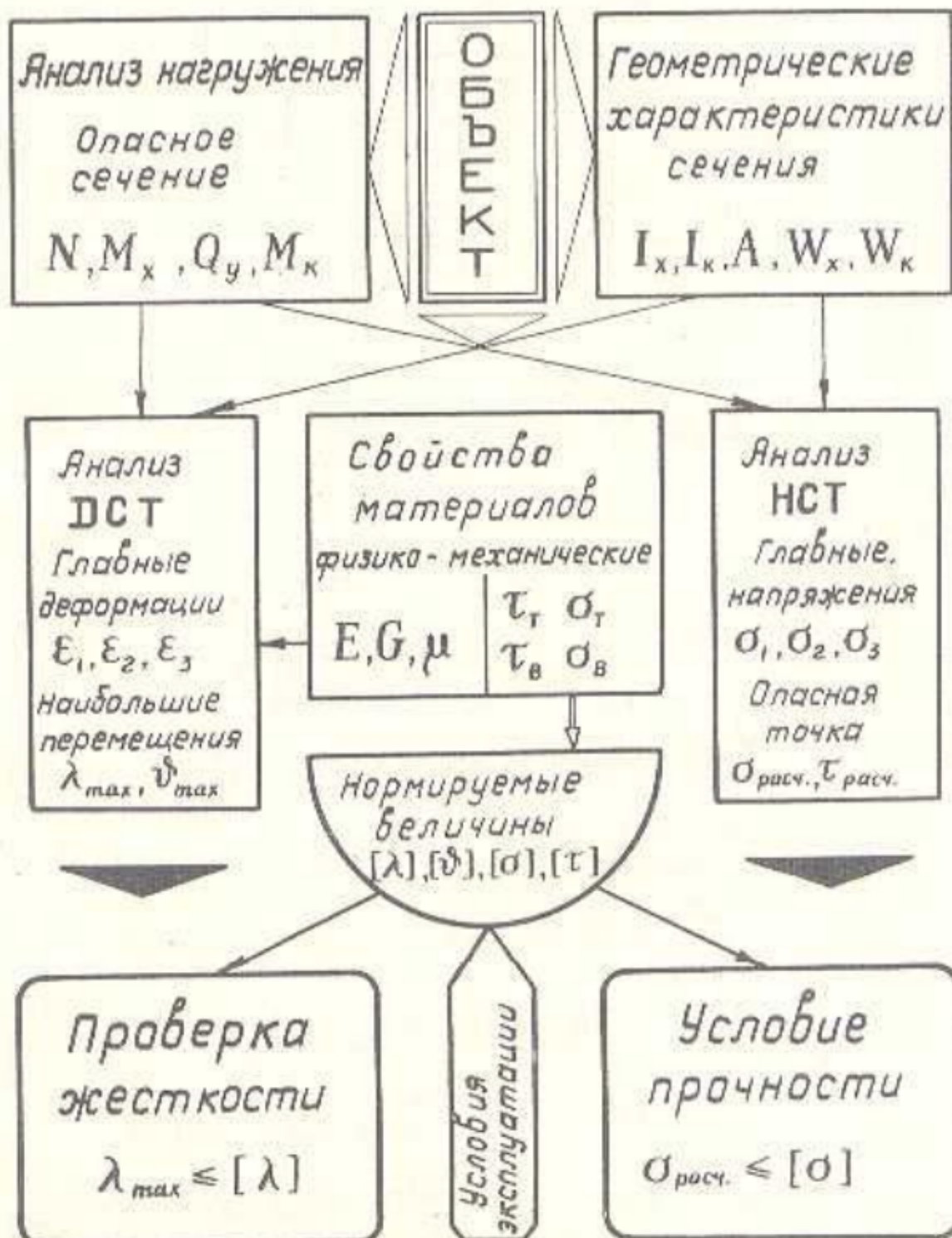
Дифференциальные зависимости используются для построения эпюр и их контроля на основании свойств функции и производной.

При построении эпюр помните, что скачок на эпюре сил (моментов) может быть только в сечении, в котором приложена сосредоточенная сила (момент), в направлении приложенной силы (момента) и на её величину.



# ОБЩАЯ СХЕМА РАСЧЕТА

статически определимых систем



ОПОРНАЯ СХЕМА 1.3

# МЕХАНИЧЕСКИЕ ХАРАКТЕРИСТИКИ МАТЕРИАЛА



## ХАРАКТЕРИСТИКИ ПРОЧНОСТИ

$\sigma_p$  — предел пропорциональности,  $\sigma_{tr}$  — предел текучести.

$\sigma_y$  — предел упругости,  $\sigma_{sp}$  — предел прочности.

## ХАРАКТЕРИСТИКИ ПЛАСТИЧНОСТИ:

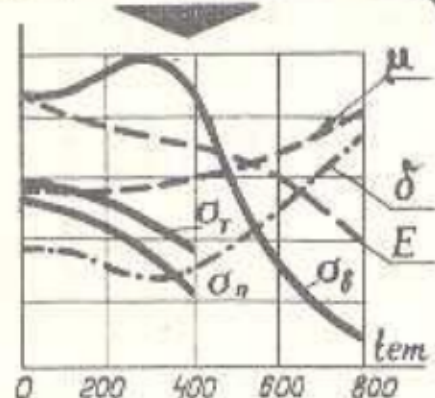
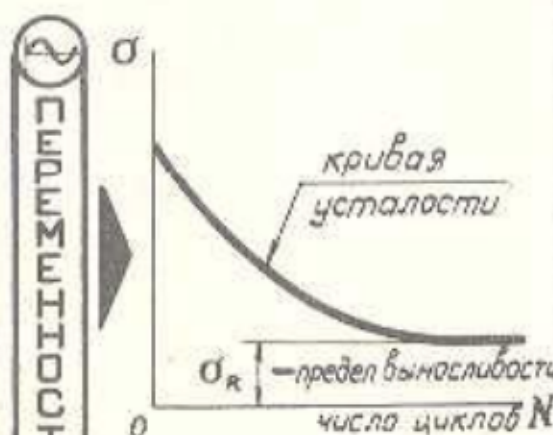
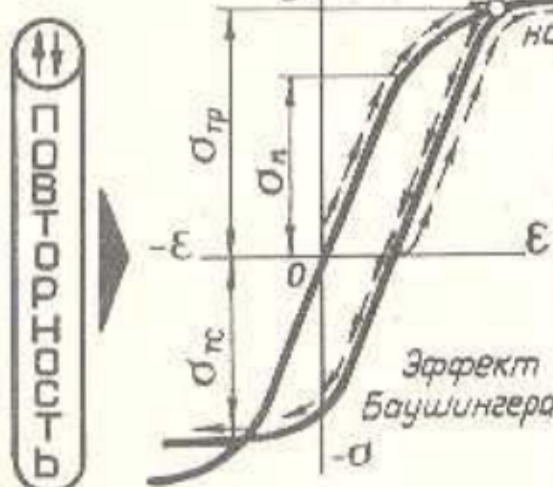
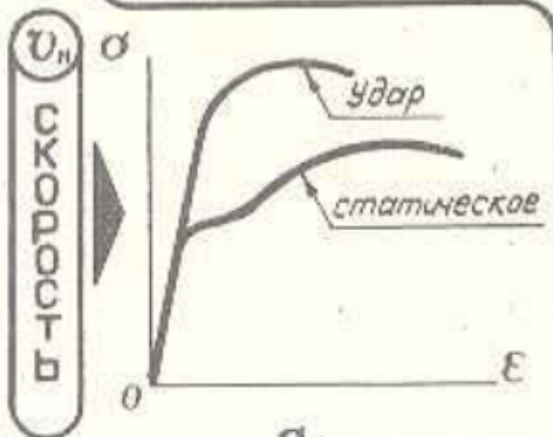
$\delta = \Delta l_0/l_0 \cdot 100\%$  — относительное остаточное удлинение при разрыве;

$\psi = [(A_0 - A_K)/A_0] \cdot 100\%$  — относительное остаточное уменьшение площади сечения.

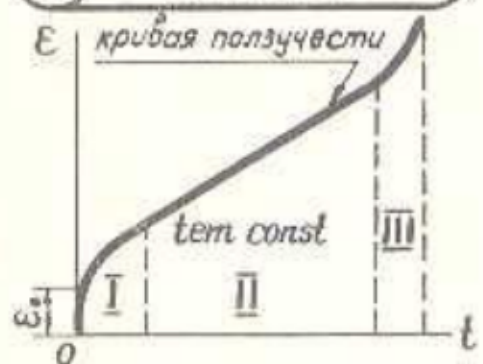
НА МЕХАНИЧЕСКИЕ ХАРАКТЕРИСТИКИ ВЛИЯЮТ:

НАГРУЖЕНИЕ

+  $\text{tem}$  ТЕМПЕРАТУРА



+  $t$  ВРЕМЯ



= ПОЛЗУЧЕСТЬ



= УСТАЛОСТЬ

= РЕЛАКСАЦИЯ

# РАСЧЕТНО-ПРОЕКТИРОВОЧНОЕ

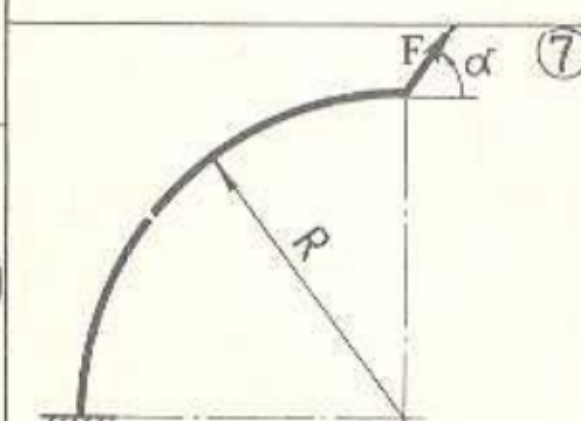
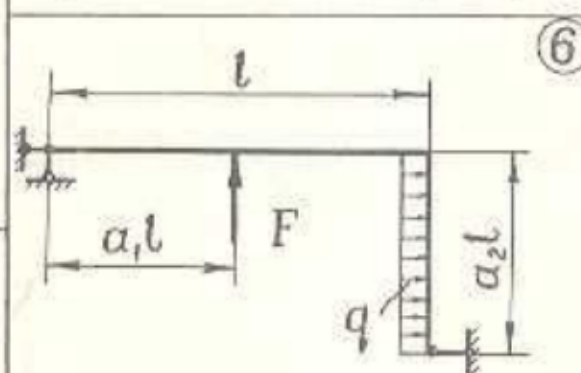
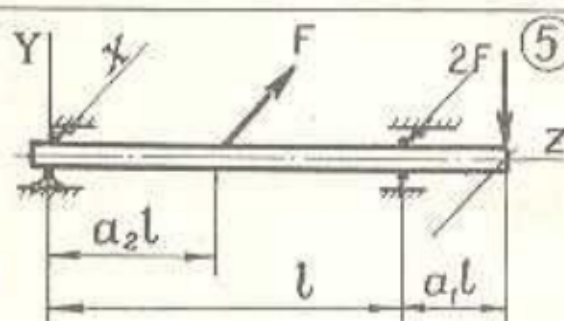
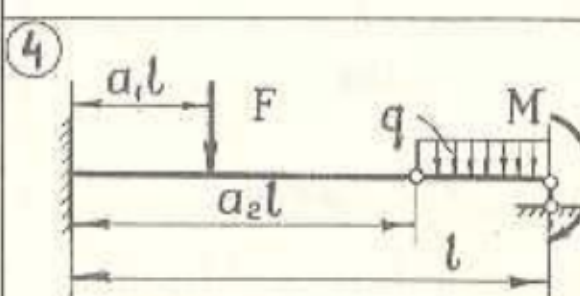
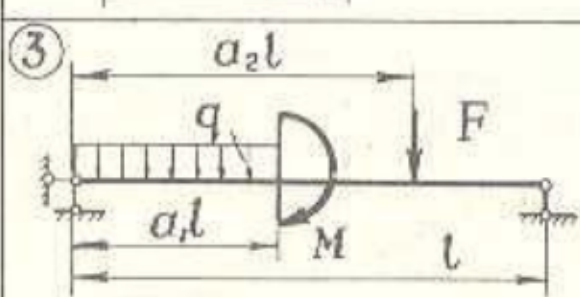
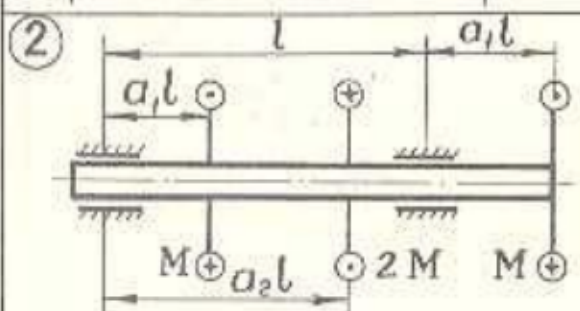
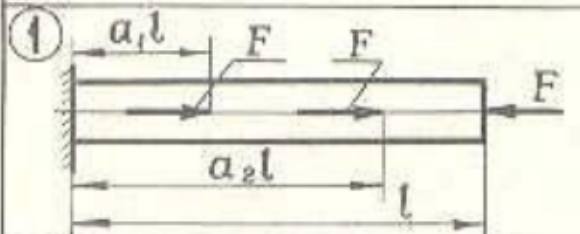
**6** τ **MQ**

задание

- Покажите вид деформаций и напряжений для расположенных на схеме брусьев.
- Найдите опасное сечение. постройте эпюры распределения внутренних сил.
- Изложите методы, принципы и допущения, использованные при расчёте.

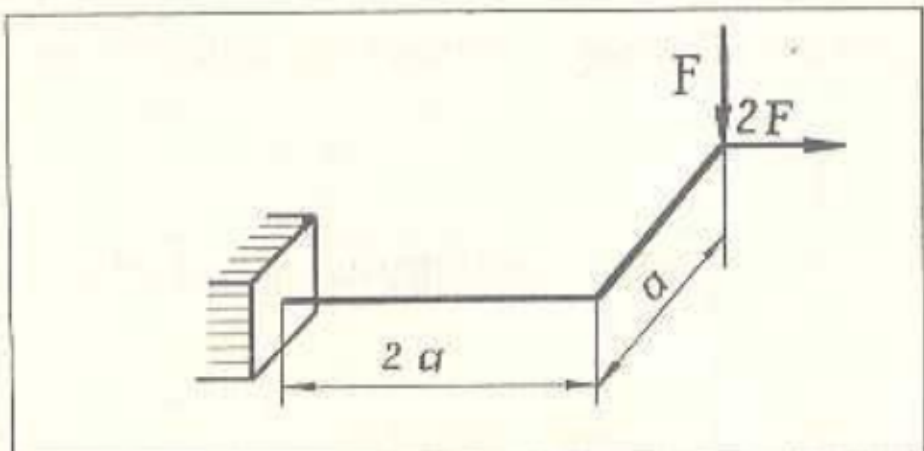
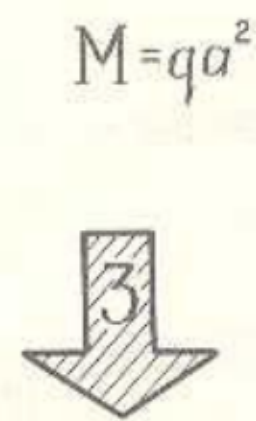
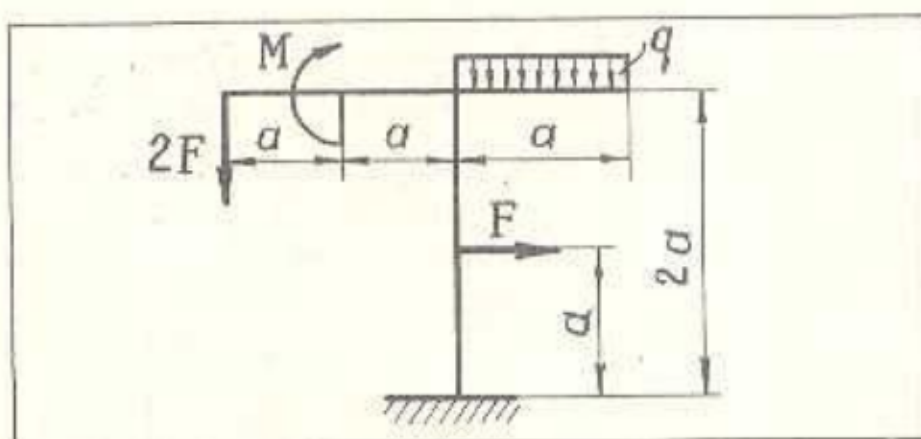
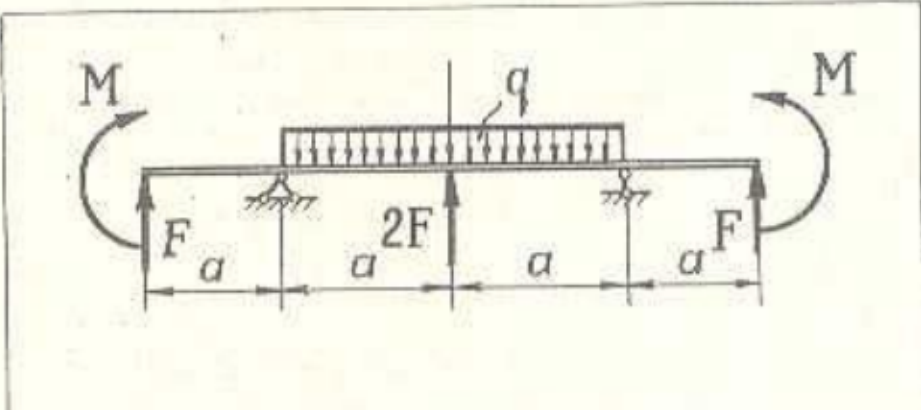
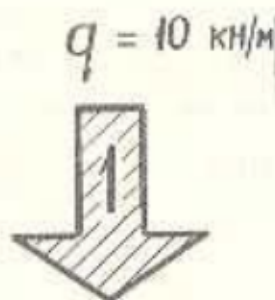
$$q = \text{кН/м}; F = ql; M = ql^2; \alpha = 60^\circ$$

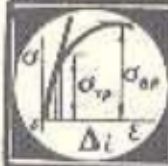
$$a_1 = \quad a_2 = \quad l = \text{м}; R = \text{м}$$





УКАЗАТЕ ОПАСНОЕ СЕЧЕНИЕ, ПРЕДВАРИТЕЛЬНО  
ПОСТРОЙТЕ ЭПКРЫ ВНУТРЕННИХ СИЛ.  
КАКОЙ ВИД ДЕФОРМАЦИИ ИСПЫТЫВАЕТ КОНСТРУКЦИЯ ?





## Тема 2. РАСТЯЖЕНИЕ И СКИДЫ

Процесс линейно-упругих деформаций при статическом нагружении



Ознакомиться с энергетическими методами.

Знать метод сравнения перемещений, метод сил.

Уметь проектировать элементы конструкций, работающих в условиях растяжения и сжатия.

*Robert Hooke*

1678

*ut tensio sic vis*

$$\sigma = E\varepsilon$$

Степень

Выбор

Запись

Определение

Решение

Условие прочности по допускаемым напряжениям

$$\sigma \leq [\sigma]$$

$$n \geq [n]$$

Расчеты: 1. Проверочный.

2. Проектировочный.

3. Определение грузоподъемн.  $N=f(F) \rightarrow [F]$

СНС

Статически не **S** определимы

ОСНОВНАЯ СИСТЕМА

$$\Delta_i = \delta_{i1} X_1 + \delta_{i2} X_2 + \dots + \delta_{in} X_n + \Delta_{ibm}$$

коэф. канонических уравнений

$$X_1, X_2, \dots, X_n$$

ОС

$$\Delta_{in} = 0$$

ККУ

$$\Delta_i = \int \frac{M_x M_{x'i}}{EI_x} dz + \int \frac{M_{x'i} M_{x''i}}{GJ_k} dz + \int \frac{N N_i}{EA} dz$$

$$\Delta_{item} = \alpha \Delta t \omega_i \text{ "перемножение" эпюр}$$

$$\Delta_{ab} \approx l_{ab}/6 (f_a + 4 f_{\text{средн.}} + f_b)$$

МЕТОД  
энергетический  
МОРА,  
способ  
ВЕРЕЩАГИНА,  
формула  
СИМПСОНА



Сравните прочностную надежность статически определимых и статически неопределимых систем.



К лекции 2.1 : /I/ §8, 9, 19. Примеры I.1, I.2

К лекции 2.2 : /I/ § II. Примеры I.5, I.7

К лекции 2.3 : /I/ § 10, § 38, с.189, §39



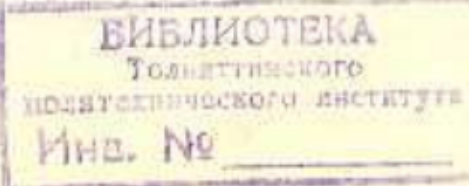
## РАСТЯЖЕНИЕ И СЖАТИЕ

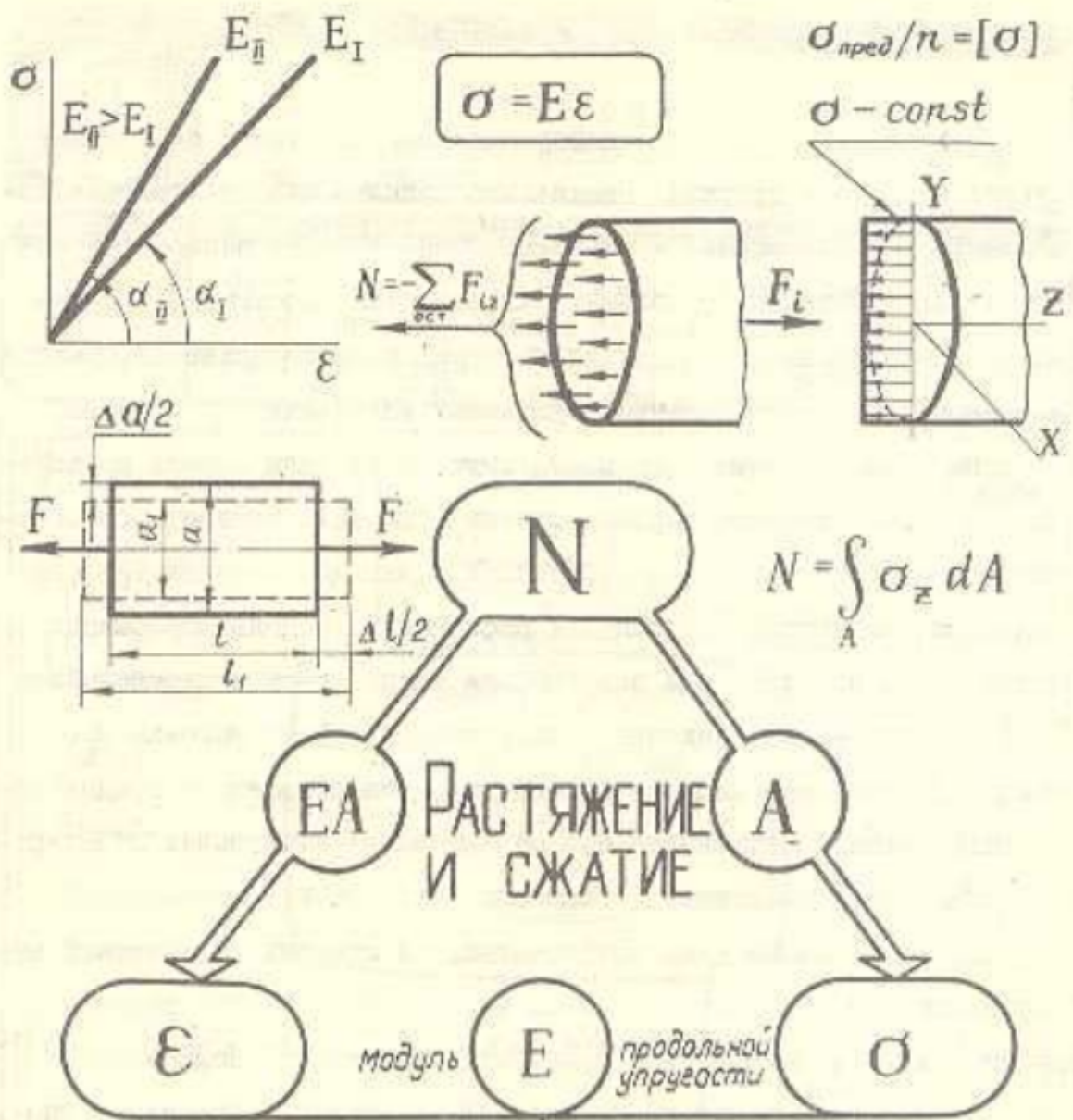
Растяжение и сжатие – деформации под действием сил, действующих вдоль оси стержня. Растяжение принято считать положительной деформацией, сжатие – отрицательной. Плоские поперечные сечения под действием продольных сил остаются плоскими и перемещаются параллельно, что свидетельствует о постоянстве деформации и равномерном распределении нормальных напряжений по сечению.

На опорной схеме 2.1. место внутренней силы заняла продольная, а геометрической характеристики – площадь поперечного сечения  $A$ . Произведение модуля упругости и площади сечения ( $EA$ ) называется жесткостью сечения при растяжении. Модель деформации справедлива при линейной зависимости между силой и перемещением. На схеме приведены сведения о напряжениях и даны условия прочности. Допускаемые напряжения определяются отношением предельного напряжения, полученного при механических испытаниях стандартных образцов, к коэффициенту запаса.

При анализе системы устанавливается степень статической неопределенности как разность чисел неизвестных усилий, включая реакции связей, и неизвестных уравнений равновесия. Если задача оказывается статически неопределенной, то усилия определяют способом сравнения перемещений (опорная схема 2.2) или методом сил. Дальнейший расчет проводится по схеме статически определимых систем (схема I.3).

На опорной схеме 2.3 рассматриваются потенциальная энергия деформации, общие теоремы и энергетические методы определения перемещений: метод Мора и способ Верешагина.





$$\epsilon = N/EA$$

продольная  $\epsilon = \Delta l/l$

поперечная  $\epsilon = \Delta a/a$

Коэффициент Пуассона

$$\mu = |\epsilon'/\epsilon|$$

$$\sigma_z = N/A$$

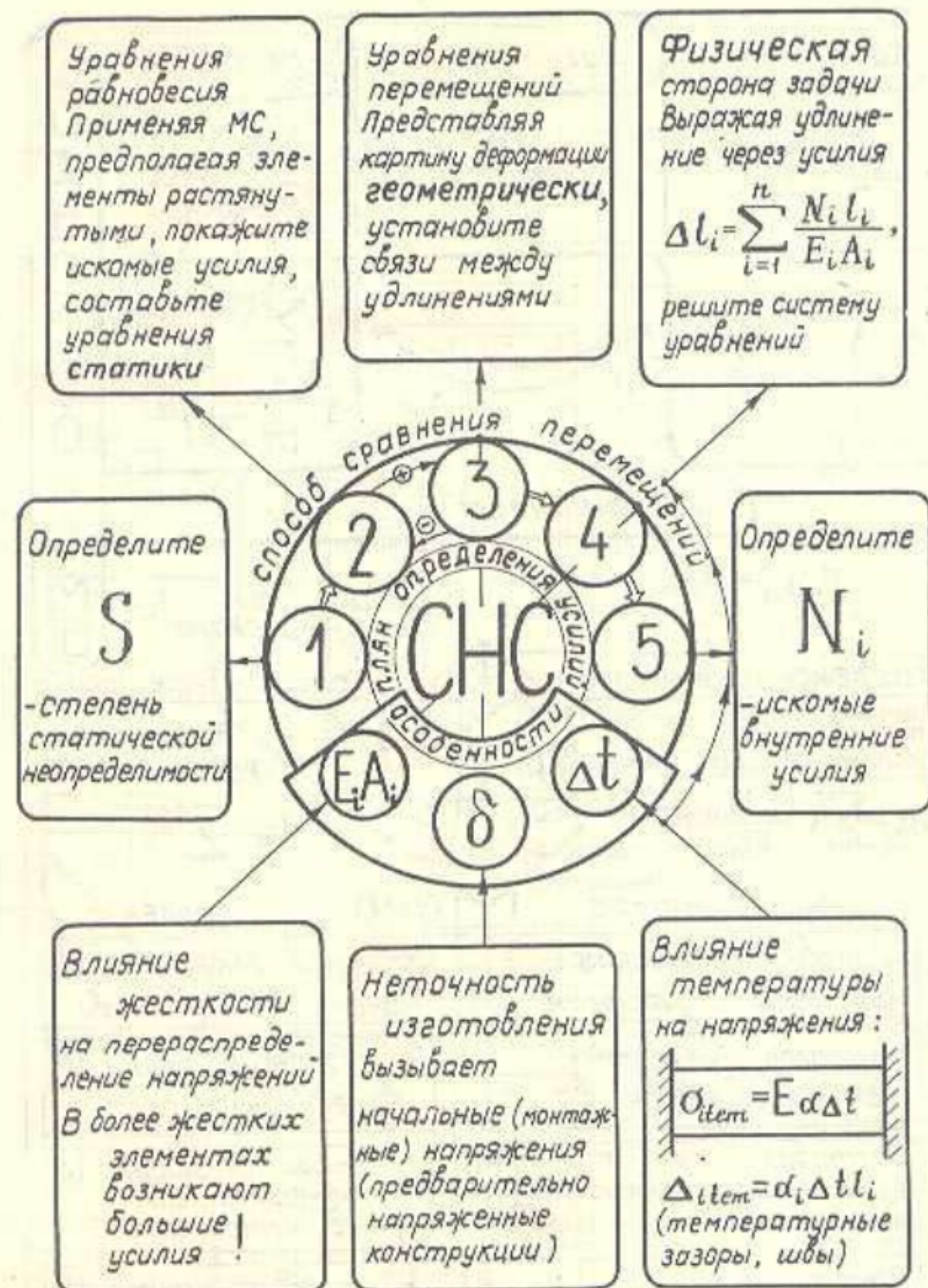
$$\sigma_{\max} = \sigma_{\alpha=0^\circ} = \sigma_z; \tau_{\alpha=0^\circ} = 0$$

$$\tau_{\max} = \tau_{\alpha=45^\circ} = \sigma_{\alpha=45^\circ} = \sigma/2$$

Условие прочности

$$\sigma_{\text{расч.}} = N/A \leq [\sigma]$$

СПОРННАЯ СХЕМА 2.1



ОПОРНАЯ СХЕМА 2.2

# ОБЩЕСТВОРЕНЫ

Кастильяно

$$\Delta_{iF} = \frac{\partial U}{\partial F_i}$$

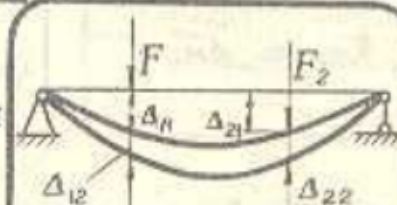
Лагранжа

$$F_i = \frac{\partial U}{\partial \Delta_{iF}}$$

Мора

$$\frac{\partial U}{\partial \Phi_{(\Phi=0)}} = \Delta$$

$$\Delta_i = \int \frac{M}{EI} \frac{\partial M}{\partial F_i} dz$$



$$\Delta = \sum_{i=1}^n \int \frac{M_x M_{xi}}{EI_x} dz$$

$$\Delta = \sum_{i=1}^n \frac{\omega_i y_{ci}}{EI}$$

О взаимности

$$F_1 \Delta_{12} = F_2 \Delta_{21}$$

работ

$$\Delta_{12} = \Delta_{21}$$

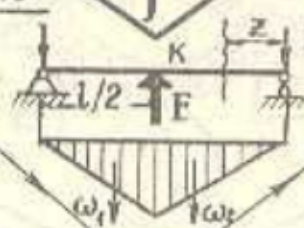
перемещений

теорема Кастильяно

только в точке  
приложения силы

$$U_K = \sum \int \frac{M_x M_{xi}}{EI_x} dz$$

$f$



способ Верещагина

для стержней с  
прямолинейной осью

$$U_K = \sum \frac{\omega_i y_{ci}}{EI}$$

метод

МОРА универсален

Составляются выражения  
моментов по участкам

$M_x$

Строится эпюра

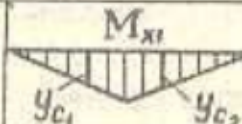
моментов от нагрузки

По адресу искомого  
прикладывается



$\frac{z}{2}$  перемещения  
единичная сила

Составляются  
выражения моментов  
от единичной силы



Строится эпюра  
моментов от  
единичной силы

Интегрируем  
произведение

$$U_K = \frac{F t^3}{48 EI} = f$$

Определяем сумму  
произведений

# 2 РАСЧЕТНО-ПРОЕКТИРУЮЩЕЕ ЗАДАНИЕ

$\Delta t$

$\epsilon$

6 СНС

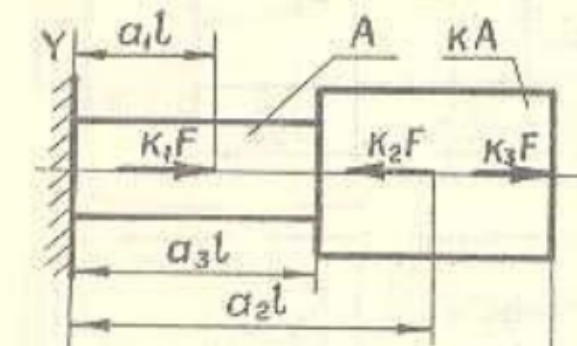


Рис. 2.1

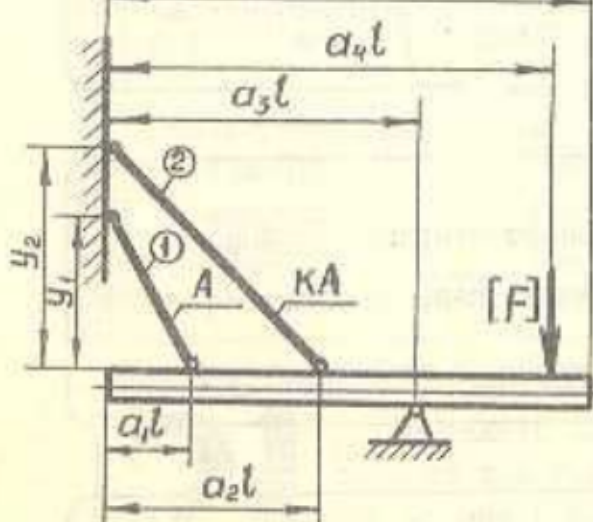


Рис. 2.2

Горизонтальный брус (рис. 2.2) – абсолютно жесткий:  
 $\alpha = 1,25 \cdot 10^{-5} \text{ }^{\circ}\text{C}^{-1}$

## РАСТЯЖЕНИЕ И СЖАТИЕ

Оценка прочностной надежности при статическом нагружении

(приложение 2)

1

1. Провести проверку прочности бруса (рис. 2.1).
2. Спроектировать ступенчатый брус равного сопротивления.
3. Провести проверку стержня на жесткость.

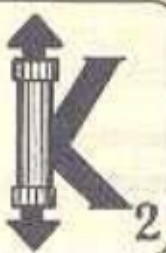
2

Отбросить в стержневой системе (рис. 2.2) второй стержень

1. Определить грузоподъемность  $[F]$ .
2. Найти напряжения в стержне
3. Вычислить перемещение в точке приложения силы.

3

1. Определить  $[F]$  системы (рис. 2.2). Провести сравнение с грузоподъемностью статически определимой системы.
2. Вычислить дополнительные напряжения от изменения температуры.
3. Установить величину напряжений от неточности изготовления.

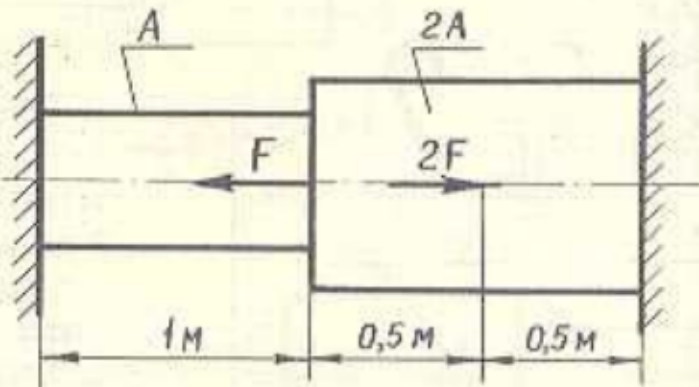


- РАСТЯЖЕНИЕ И СЖАТИЕ
- ПРОЕКТИРОВАНИЕ ЛИНЕЙНО-ДЕФОРМИРУЕМОГО СТАТИЧЕСКИ НЕОПРЕДЕЛИМОГО БРУСА ПРИ СТАТИЧЕСКОМ НАГРУЖЕНИИ

$$F = 20 \text{ кН}$$

$$\Delta t = 50^\circ \text{C}$$

$$\Delta = 0,1 \text{ мм}$$



Раскрыть статическую неопределенность.

- Построить эпюру напряжений вдоль оси бруса.
- Показать опасное сечение.

Подобрать круглое сечение стального стержня, исходя

- из условия прочности по допускаемым напряжениям.
- Принять  $[σ] = 160 \text{ МПа}$ .

Показать алгоритм определения дополнительных напряжений,

- возникающих в конструкции от изменения температуры и
- неточности изготовления. (Рекомендуется применить метод сил)



### Тема 3.

### ИЗГИБ

Деформация линейно-упругих стержней, работающих в условиях статического нагружения



Ознакомиться с геометрическими характеристиками.

Знать расчетные зависимости прочности.

Уметь оценивать прочностную надежность конструкций, работающих на изгиб и растяжение.

Дмитрий  
Иванович  
**ЖУРАВСКИЙ**  
1854 год

$$M_x = \int \sigma_z y dA$$

$$\varepsilon = \frac{y}{\rho}$$

$$\frac{\rho}{l} = \frac{M_x}{EI_x}$$

$$\sigma = \frac{M_x}{I_x} y$$

$$\begin{aligned} v &= \varphi(z) \\ \varphi &= v' \\ M &= v'' EI_x \\ Q &= v''' EI_x \\ q &= v'''' EI_x \end{aligned}$$

$$I_x = I_y = I$$

$$O_2 = \frac{\sqrt{M_x^2 + M_y^2}}{W}$$

Характеристики сечений

Плоский или пространственный

$$\text{ИЗГИБ (205)} \sigma_z = M_x/W_x$$

$$\text{ИЗГИБ (20x)} \sigma_z = M_y/W_y$$

$$\text{РАСТЯЖЕНИЕ} \quad \sigma_z = N/A$$

Чистый или  
поперечный

Прямой или

косой

с растяжением

Статический момент площади.

Моменты

инерции.

Моменты

сопротивления

центральный  
осевой  
полярный  
кручения

$$\begin{aligned} S_x &= \int y dA \leq 0 \quad (\text{м}^3) \\ I_{xy} &= \int xy dA \leq 0 \quad (\text{глоос}) \\ I_x &= \int y^2 dA \geq 0 \quad (\text{м}^4) \\ I_y &= \int \rho^2 dA = I_x + I_y = \text{const} \\ W_x &= I_x / y_{max}; W_y \quad (\text{м}^3) \end{aligned}$$



Проведите обоснование экономически эффективного сечения для стержней, работающих при косом изгибе, при изгибе с растяжением или сжатием.



К лекции 3.1 : /I, § 29).

К лекции 3.2 : /I, § 30).

К лекции 3.3 : /I, § 35, 36).

К лекции 3.4 : /I, § 26, 27).



## ИЗГИБ

Изгиб - деформация, сопровождающаяся изменением кривизны оси стержня.

На опорной схеме 3.1. показана картина изгиба консоли. На вогнутой поверхности консоли волокна укорачиваются, т.е. сжимаются, на выпуклой - удлиняются, следовательно, растягиваются. Поверхность, не испытывающая ни растяжения, ни сжатия, называется нейтральной, линия пересечения её с плоскостью поперечного сечения - нейтральной.

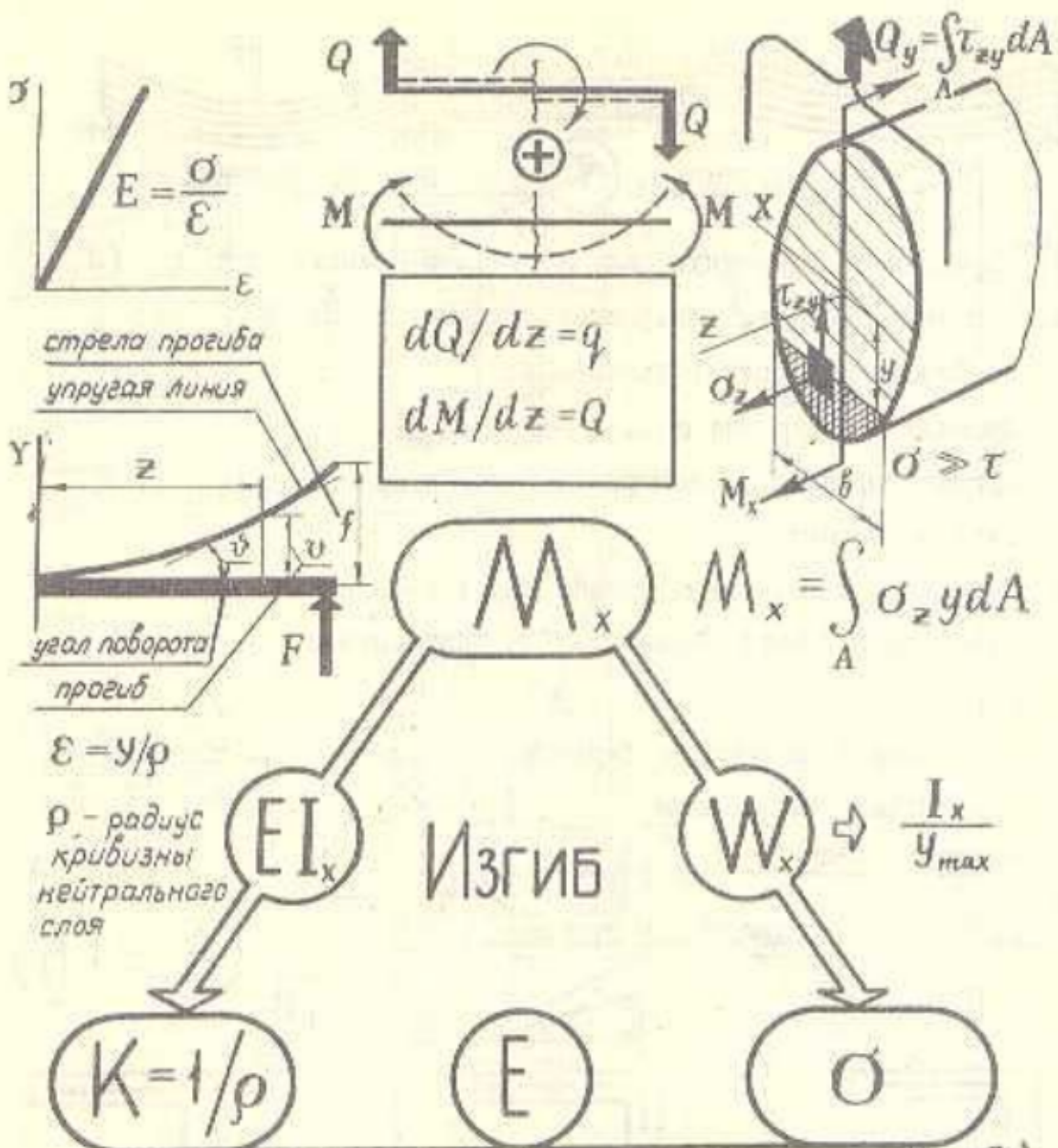
Деформация под действием момента относительно центральной оси поперечного сечения называется чистым изгибом, момента и поперечной силы - поперечным. При поперечном изгибе возникают нормальные и касательные напряжения. Порядок расчета касательных напряжений при поперечном изгибе показан на с. 26. Обращено внимание на понятие центра изгиба при расчете тонкостенных стержней.

Прогибом называется вертикальное перемещение; производная от прогиба по длине стержня - углом поворота сечения. Наибольший прогиб принято называть стрелой прогиба.

В теме "Изгиб" рассматриваются сложные случаи изгиба, для которых справедлив принцип независимости действия сил. Совокупность двух прямых поперечных изгибов называется косым изгибом из-за отклонения плоскости деформирования от плоскости действия нагрузки (с. 27).

Совокупность двух прямых изгибов и растяжения называется изгибом с растяжением. Такой подход справедлив только для коротких стержней большой жесткости. Частный случай этой деформации называют внекентренным сжатием.

Аналогичность зависимостей и расчетных формул при растяжении и изгибе приведена на с. 28.



$$1/\rho = v'' = M_x/EI_x$$

$$v = \varphi(z); \quad \dot{\varphi} = dv/dz$$

Условие жесткости:

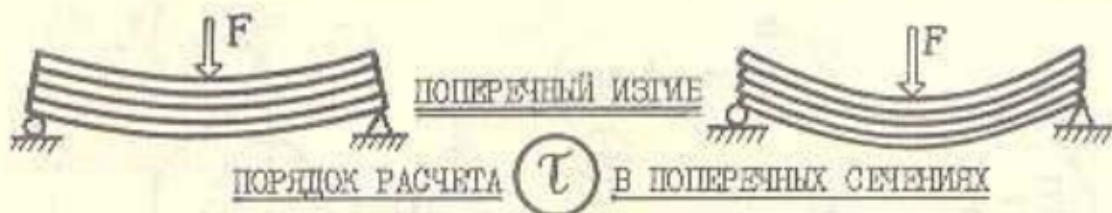
$$\text{МНП} \rightarrow f \quad f \leq [f]$$

$$\sigma = M_x y / I_x$$

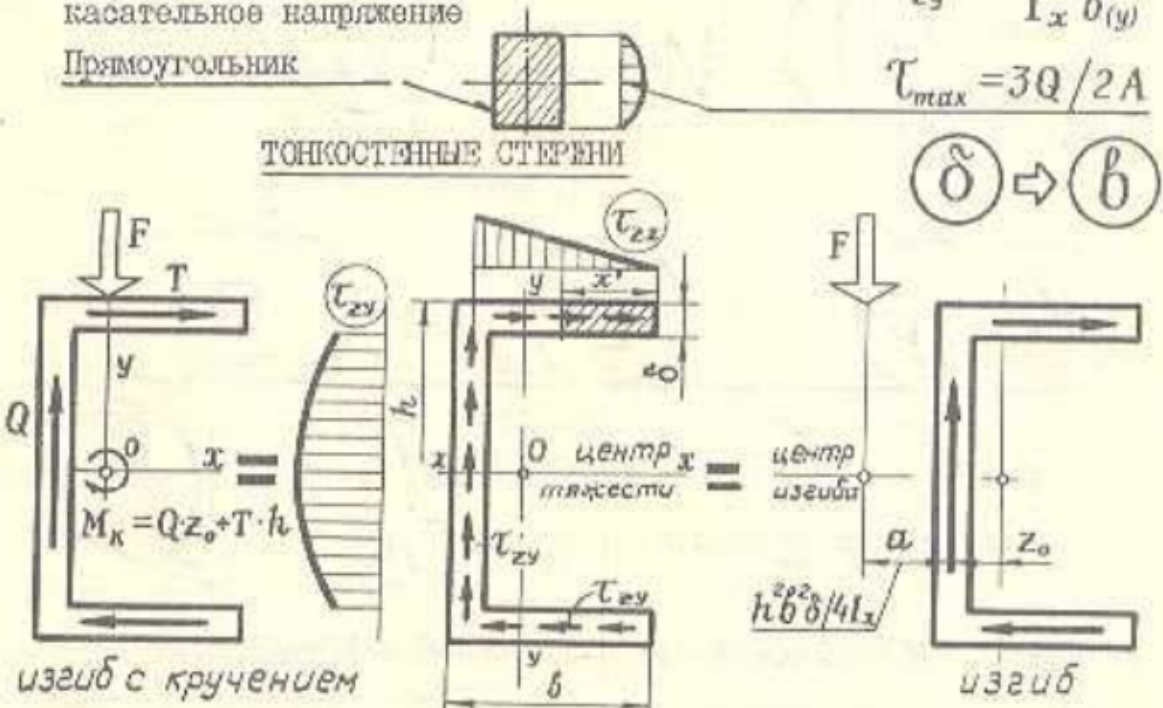
$$\tau = Q S_x^{\text{erc}} / I_x b$$

Условие прочности:

$$\sigma_{\max} = \frac{M_x}{W_x} \leq [\sigma]$$

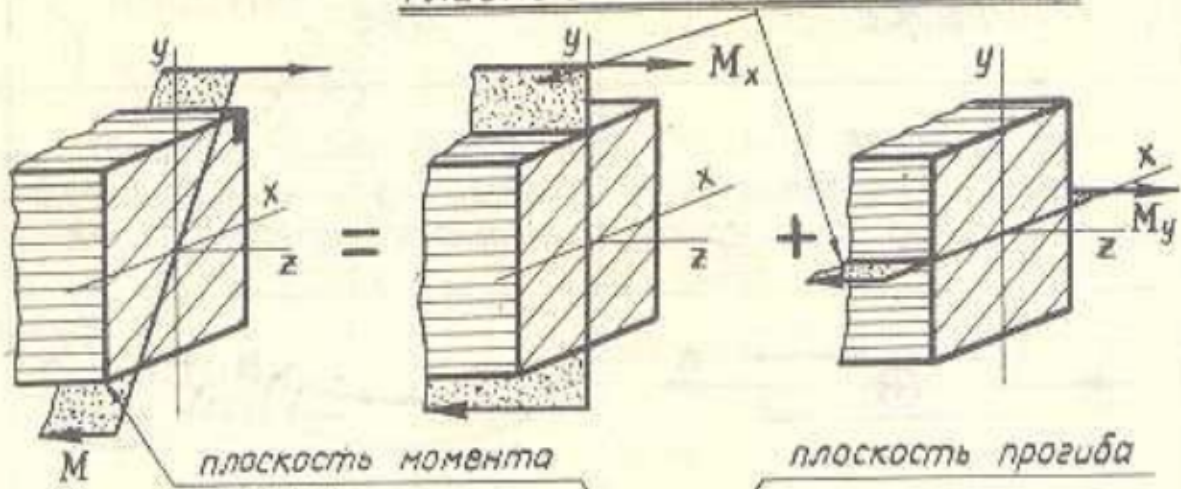


1. Определите поперечную силу в опасном сечении  $\rightarrow Q_y$
  2. Подсчитайте момент инерции в сечении относительно главной центральной оси  $\rightarrow I_x$
  3. Проведите на уровне исследуемых напряжений прямую параллельно центральной оси и определите ее ширину  $\rightarrow b_{(y)}$
  4. Вычислите статический момент части сечения отсеченной прямой относительно нейтральной оси  $\rightarrow S_x^{\text{отс}}$
  5. Рассчитайте по формуле Журавского искомое касательное напряжение
- $$\tau_{zy} = \frac{Q_y S_x^{\text{отс}}}{I_x b_{(y)}}$$
- $$\tau_{\max} = 3Q / 2A$$

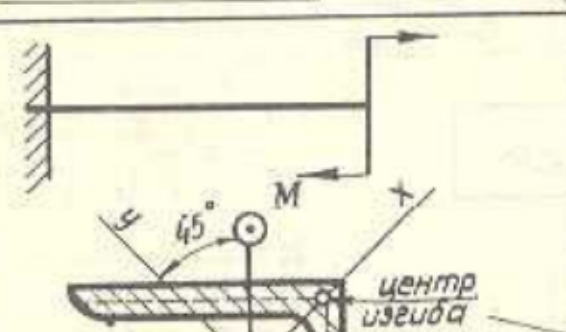
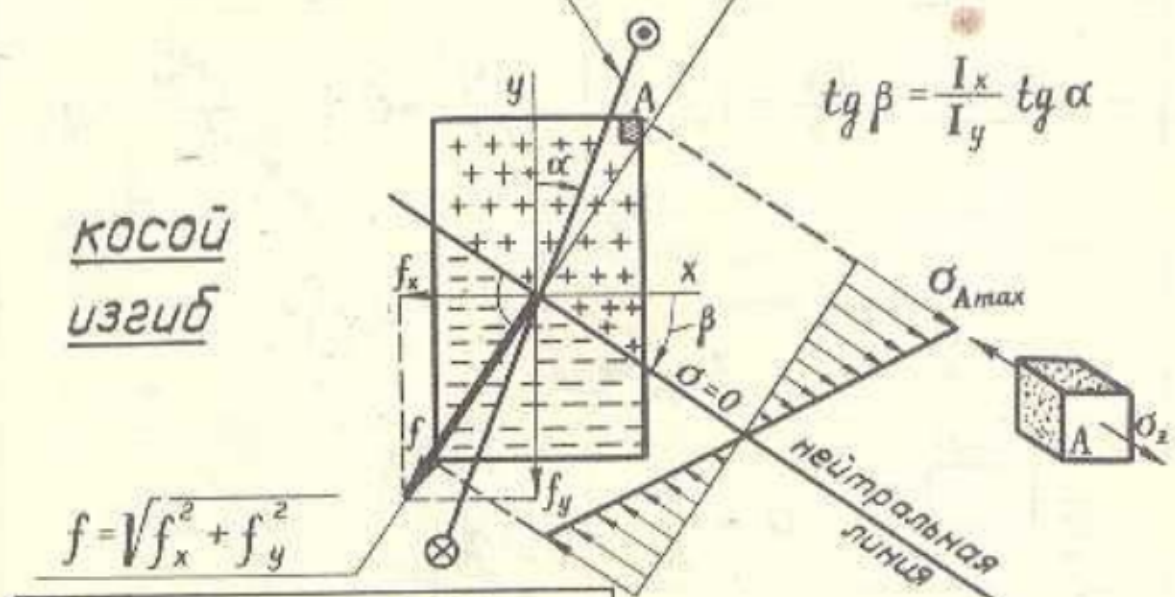


Для сечений, представляющих пучок элементов, центр изгиба находится на пересечении элементов.

## Главные плоскости инерции



### косой изгиб



$$\sigma = \sigma(M_x) + \sigma(M_y)$$

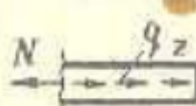
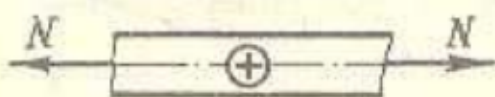
$$\sigma_{max} = \frac{M_x}{W_x} + \frac{M_y}{W_y} \leq [\sigma]$$



$$\sigma_A = -\left(\frac{M_x \cdot y_A}{I_x} + \frac{M_y \cdot x_A}{I_y}\right)$$

## Растяжение

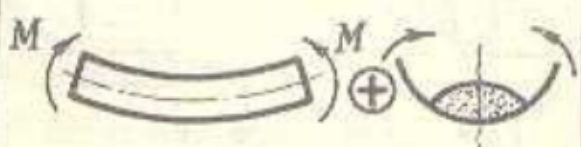
$N$  — продольная сила  
Проекция внутренних сил на продольную ось стержня



$$\frac{dN}{dz} = q_z$$

## Изгиб

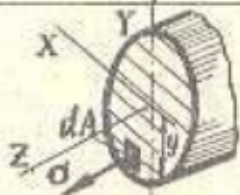
$M$  — изгибающий момент  
Момент внутренних сил относительно оси поперечного сечения



$$\frac{dM}{dz} = Q$$

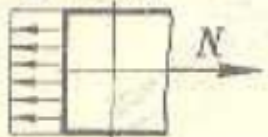
$$\frac{d^2M}{dz^2} = q$$

$$N = \int_A \sigma dA$$

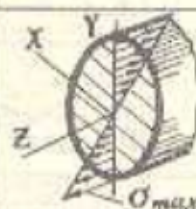


$$M_x = \int_A \sigma y dA$$

$\sigma = \text{const}$



$$\sigma = \frac{N}{A}$$



$$\sigma = \frac{M_x \cdot y}{J_x}$$

$$\varepsilon = \frac{N}{EA}$$

$$\sigma = E\varepsilon$$

$$\frac{t}{\varrho} = \frac{M_x}{EJ_x} = \psi''$$

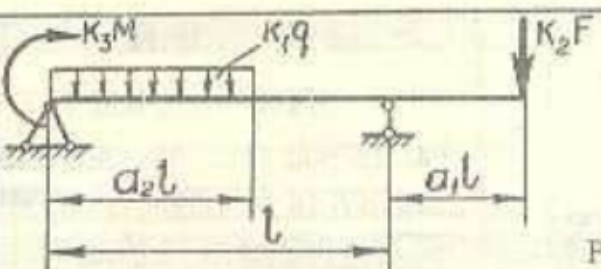
$$\sigma_{max} = \frac{N}{A} \leq [ \sigma ]$$

$$\sigma_{max} = \frac{M_x}{W_x} \leq [ \sigma ]$$

$$U = \int_l \frac{N^2}{2EA} dz$$

$$U = \int_l \frac{M_x^2}{2EJ_x} dz$$

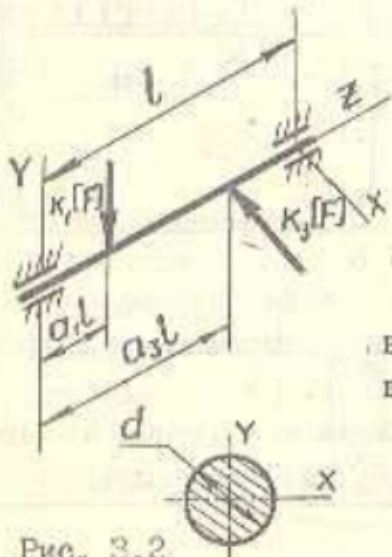
**3** РАСЧЕТНО-  
ПРОЕКТИРОВОЧНОЕ  
задание **3**



1

Рис. 3.1

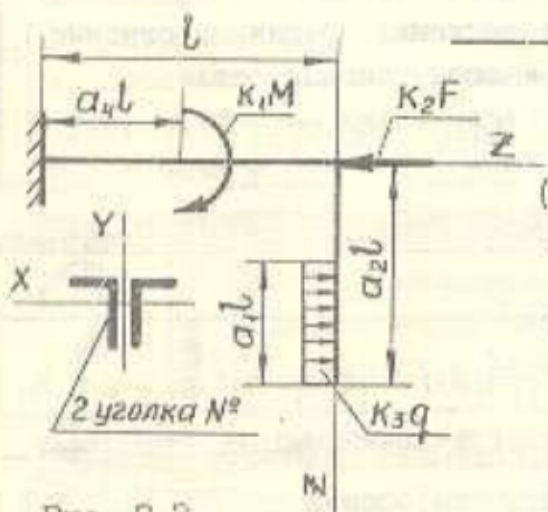
- Подобрать экономически эффективное сечение балки (рис 3.1).
- Показать рациональное расположение сечения балки (Прил.3, табл.3.1 и 3.2) характеристики прочности (табл.3.3). Найти размеры сечения.
- Провести проверку жесткости балки.



2

Определить допускаемую нагрузку для вала (рис. 3.2). Диаметр вала приведен в табл. 3.3.

Рис. 3.2



3

Проверить прочность бруса (рис. 3.3), номер профиля взять в табл. 3.3.

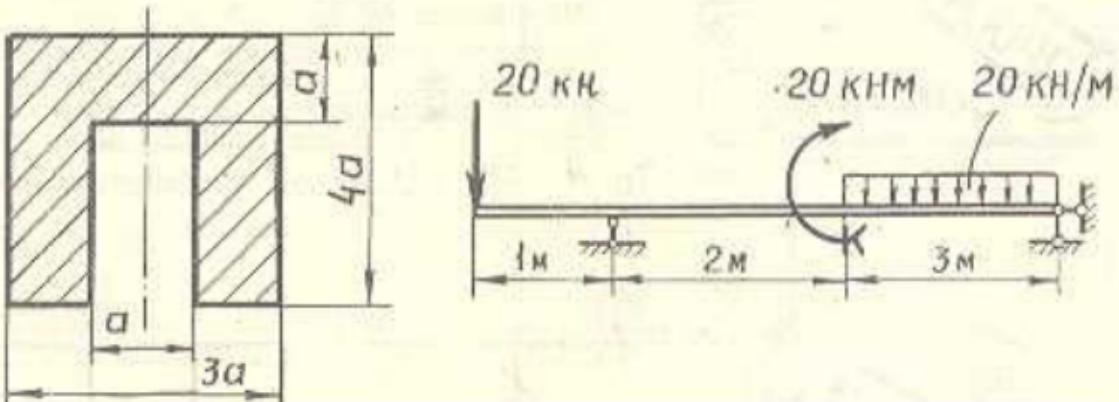
Показать приближенный вид упругой линии ломаного стержня.

Рис. 3.3

$$[f] = (0,0005 \dots 0,001) f; ; [\sigma] = 160 \text{ МПа}$$



ПРЯМОЙ, ПЛОСКИЙ поперечный изгиб  
расчетное обоснование размеров сечения и оценка  
жесткости линейно-деформируемой балки при стати-  
ческом нагружении



*N*

Подобрать сечение, исходя из условия прочности по допускаемым напряжениям; принять  $[\sigma] = 160 \text{ МПа}$ .

Показать распределение напряжений по опасному сечению и выделить опасные точки.

*C*

Расположить рационально данное сечение.

Подобрать размеры сечения, если

$$[\sigma]_c / [\sigma]_p = 2; \quad [\sigma]_p = 150 \text{ МПа}.$$

*EJ · v\_K*

Определить приведенный прогиб в точке К.

Показать упругую линию балки.

Привести алгоритмы оценки жесткости.



#### Тема 4. СДВИГ. КРУЧЕНИЕ.

Процесс кручения линейно-деформируемых стержней при статическом нагружении



Ознакомиться с теорией кручения тонкостенных стержней

Знать виды НСТ, главные площадки, чистый сдвиг.

Уметь рассчитать вал на прочность и жесткость.

Barre  
de Saint-Venant  
1797-1886

Напряженное состояние в точке НСТ  
Главные площадки  
Виды НСТ: объемное, плоское, линейное  
Чистый сдвиг  
Графическое изображение НСТ. Круг Мора

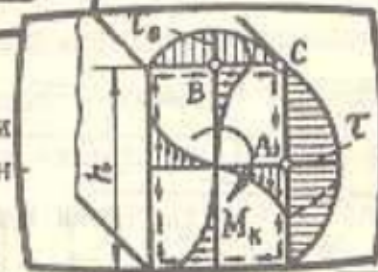
Свободное  
Нормальный  
Замкнутый  
Круглый  
  
(ПРУЖИНЫ)

#### КРУЧЕНИЕ ПРОФИЛЬ



Стесненное  
Тонкостенный  
Открытый  
Некруглый

Депланация. Касательные напряжения в поперечных сечениях: для точек вблизи контура направлены по касательной к контуру; вблизи внешнего угла равны нулю; по серединам больших сторон наибольшие



Сравните механизмы разрушения стержней из хрупких и пластических материалов при деформациях растяжения, изгиба и кручения



К лекции 4.1: /I, § 51, §55/.  
К лекции 4.2: /I, §21/.  
К лекции 4.3: /I, §22/.  
К лекции 4.4: /I, §42/.



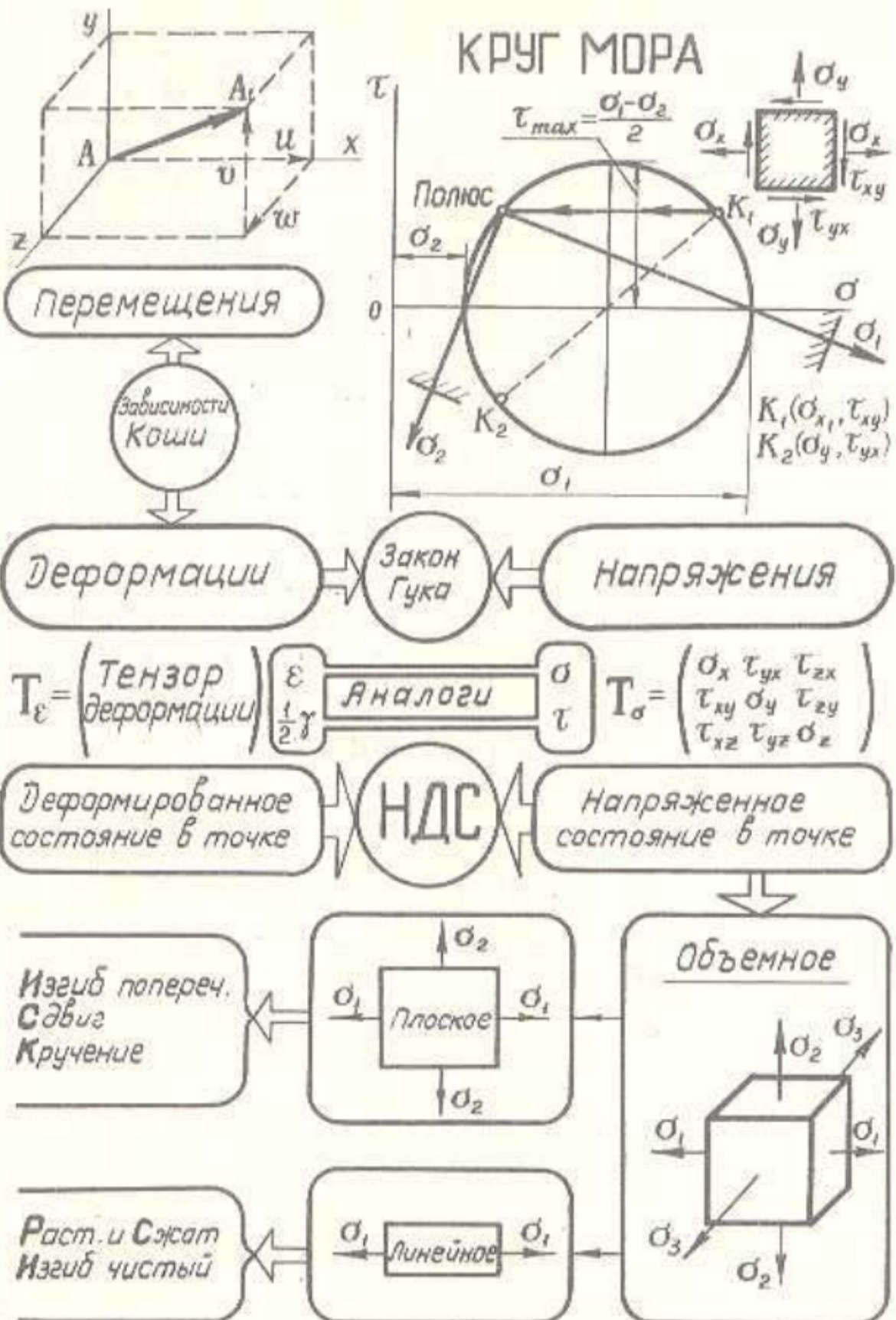
## НАПРЯЖЕННО-ДЕФОРМИРОВАННОЕ СОСТОЯНИЕ

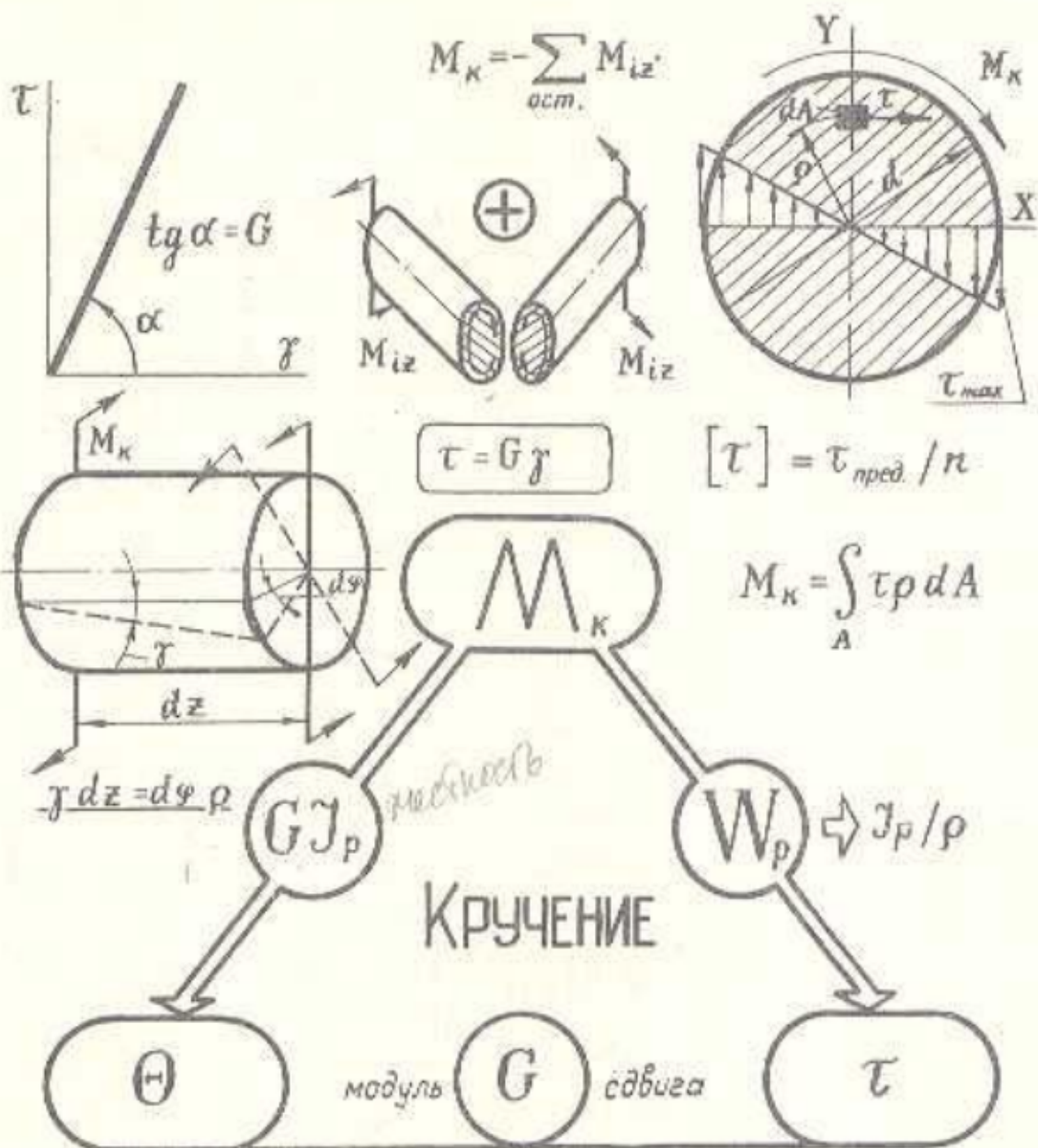
Площадки, на которых отсутствуют касательные напряжения, называются главными. В зависимости от числа экстремальных нормальных напряжений, действующих на главных площадках, различают три вида напряженных состояний: линейное, плоское и объемное.

На опорной схеме 4.1 дано графическое решение задачи определения главных напряжений в исследуемой точке К для плоского напряженного состояния. Чистым сдвигом называется частный случай плоского напряженного состояния, при котором на двух взаимно перпендикулярных площадках действуют только касательные напряжения, а нормальные равны нулю.

На опорной схеме 4.2 приведены следующие допущения при кручении круглых стержней: поперечные сечения, поворачиваясь относительно продольной оси, остаются плоскими; радиусы в поперечных сечениях не искривляются. Поперечные сечения СС<sub>0</sub> с одной стороны, поворачиваются на угол закручивания  $\varphi$ , с другой — перемещение СС<sub>1</sub> вызывается сдвигом образующей на угол  $\gamma$ , который называют относительным сдвигом. Совместное решение уравнений равновесия и перемещений дает выражение для расчета угла закручивания и касательных напряжений при кручении. Аналогичность зависимостей и расчетные формулы деформаций сдвига и кручения приведены на с. 35.

Решение задач кручения брусьев некруглого сечения и тонкостенных стержней открытого и замкнутого профилей с применением экспериментальных методов и методов моделирования даны на с. 36, 37.





$$\Theta = M_K / G J_p$$

$$\Theta = d\varphi / dz = \gamma / \rho$$

$$\tau = M_K \rho / J_p$$

$\tau_{\text{max}}$  пл.  $\perp$  оси;  $\sigma_{\text{max}}$  пл.  $< 45^\circ$

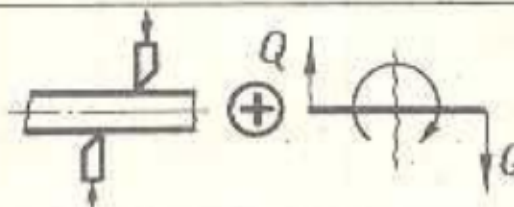
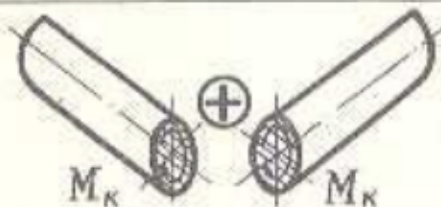
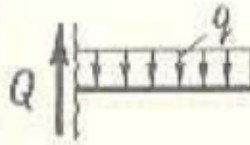
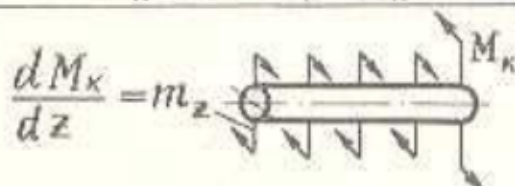
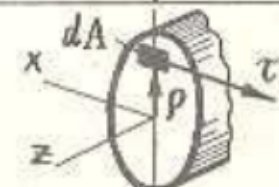
Условие жесткости:

$$\Theta = M_K / G J_p \leq [\Theta]$$

Условие прочности:

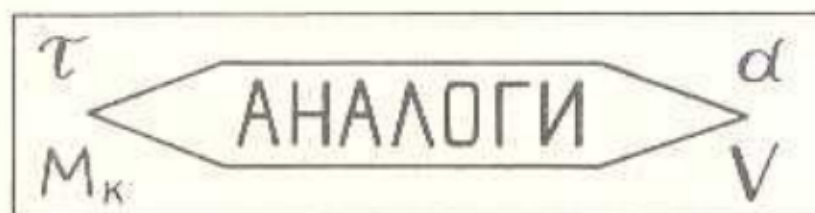
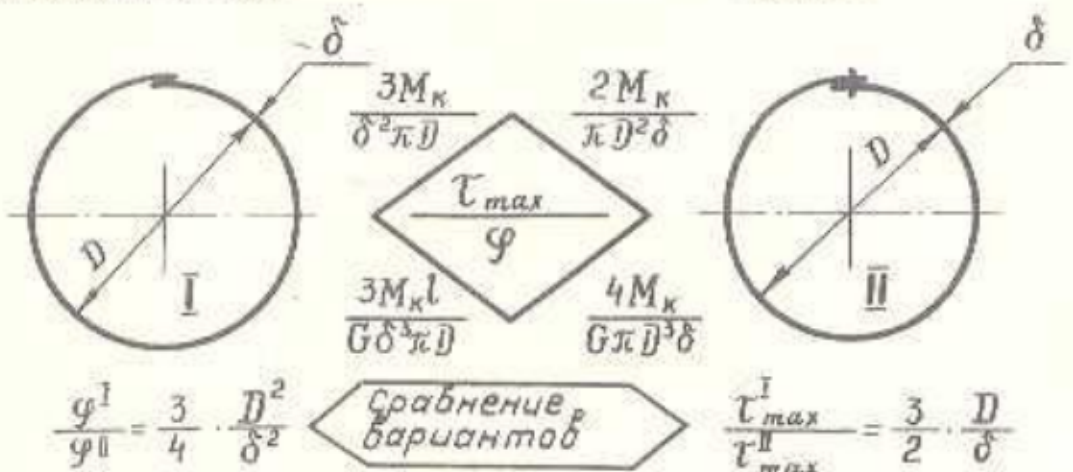
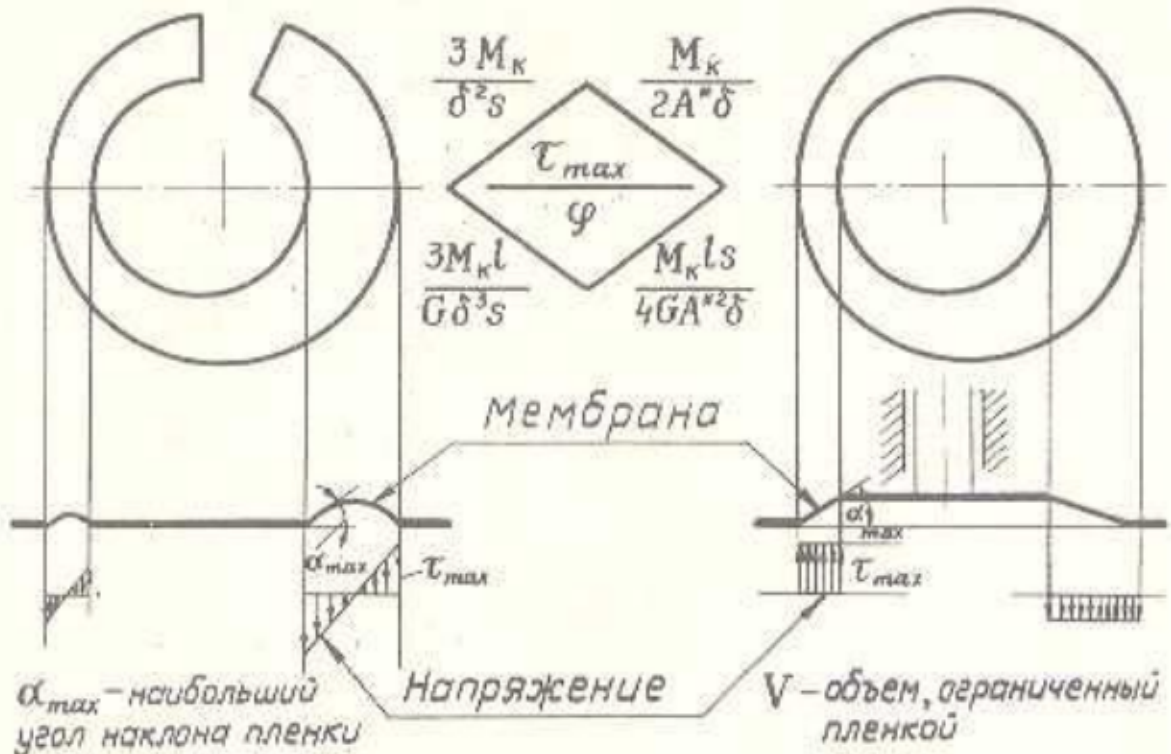
$$\tau_{\text{max}} = M_K / W_p \leq [\tau]$$

ОПОРНАЯ СХЕМА 4.2

Сдвиг	Кручение
<p><math>Q</math> - поперечная сила Проекция внутренних сил на плоскость сечения</p> 	<p><math>M_K</math> - крутящий момент Момент внутренних сил относительно продольной оси</p> 
 $\frac{dQ}{dz} = q$	$\frac{dM_K}{dz} = m_z$ 
$Q = \int_A \tau dA$ 	$M_K = \int_A \tau \rho dA$
 $\tau = \text{const}$ $\tau = \frac{Q}{A}$	 $\tau_{\max}$ $\tau = \frac{M_K \cdot \rho}{J_p}$
$J = \frac{\Delta a}{a} = \frac{Q}{GA}$	$\tau = G \gamma$ $\Theta = \frac{d\varphi}{dz} = \frac{M_K}{G J_p}$
$\tau_{\max} = \frac{Q_{\max}}{A} \leq [\tau]$	$\tau_{\max} = \frac{M_K}{W_p} \leq [\tau]$
$U = K_g \int_1^2 \frac{Q_g^2}{2GA} dz$	$U = \int_1^2 \frac{M_K^2}{2GJ_p} dz$

# Кручение тонкостенных профилей

*открытый*                            *закрытый*



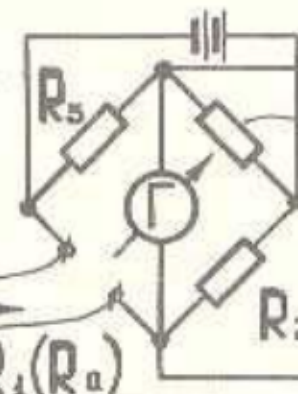
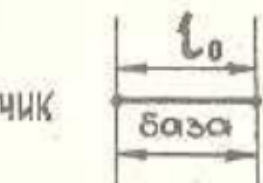
СТАТИЧЕСКИЕ

ДИНАМИЧЕСКИЕ

## ИСПЫТАНИЯ НА ПРОЧНОСТЬ

МАШИН, УЗЛОВ

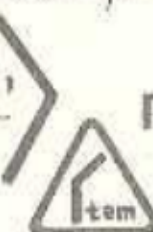
МОДЕЛЕЙ

коэффициент  
тензочувстви-  
тельности  $\gamma_0$  $F$ К-ЦЕНА  
ДЕЛЕНИЯ

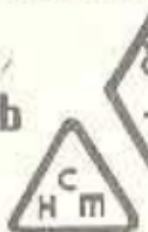
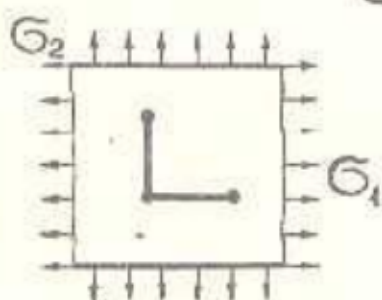
ТЕНЗОДАТЧИК

$$\frac{\Delta R}{R} = \gamma_0 \frac{\Delta l}{l_0}$$

$$\varepsilon = K_{\Delta} A \rightarrow \sigma = E \varepsilon$$

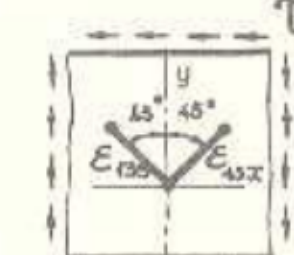
ПРОВОЛОЧНЫЙ  $\leftarrow 2 \dots 3,5 \rightarrow = \gamma_0 = -100 \dots +200 \rightarrow$  ПОЛУПРОВОДНИКЧЕМ ДЛИННЕЕ БАЗА,  
ТЕМ БОЛЬШЕ ИЗМЕ-  
НИЕ  $R$ 

точность

 $\varepsilon$  - НЕРАВНОМЕРНАЯ  
БАЗА КАК МОЖНО  
МЕНЬШЕ

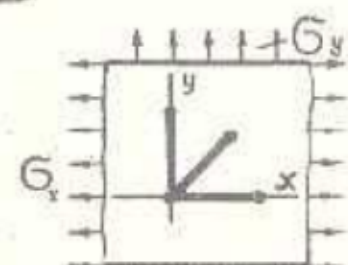
$$\sigma_1 = \frac{E}{(1-\mu^2)} (\varepsilon_1 + \mu \varepsilon_2)$$

$$\sigma_2 = \frac{E}{(1-\mu^2)} (\varepsilon_2 + \mu \varepsilon_1)$$



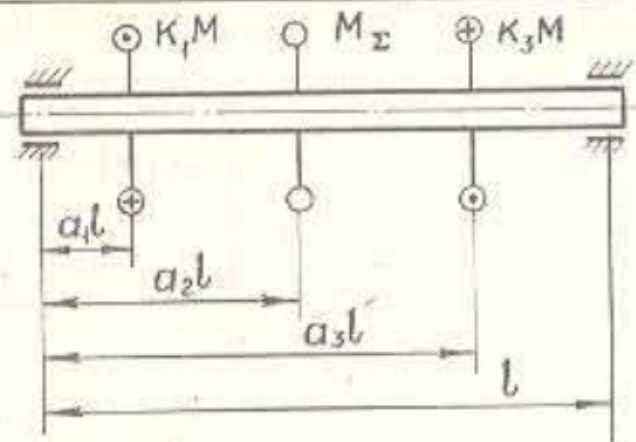
КРУЧЕНИЕ

$$T_{2x} = \frac{E (\varepsilon_{45} - \varepsilon_{35})}{2(1+\mu)}$$



$$\sigma_{\max} = \frac{E}{2} \left[ \frac{\varepsilon_x + \varepsilon_y + 1}{1-\mu} - \frac{1}{1+\mu} \right] \times \sqrt{(\varepsilon_x - \varepsilon_y)^2 + (2\varepsilon_{45}\varepsilon_x - \varepsilon_y)^2}$$

ОПОРНАЯ СХЕМА 4-3



1

Спроектировать ступенчатый вал. Провести обоснование формы и размеров стержня.

Построить эпюру углов закручивания, приняв угол поворота левого конца вала равным нулю.

Проверить жесткость вала.

2

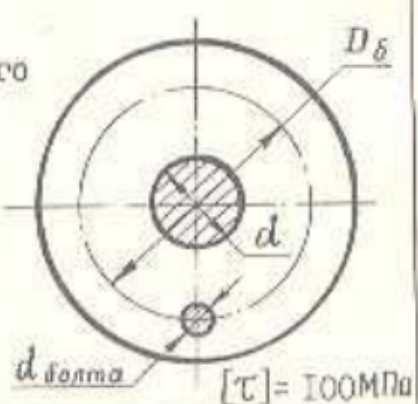
Оценить изменение грузоподъемности вала при заклинивании подшипников.

Сделать вывод о работоспособности системы.

3

Определить диаметр болтов для фланцевого соединения, установленного на опасном участке.

Диаметр, на котором расположены болты, считать равным трем диаметрам вала. Количество болтов принять конструктивно.





## Тема 5.

## ЗАКЛЮЧЕНИЕ

Комплекс прочностных качеств



Ознакомиться с композиционными материалами.  
Знать критерии прочности.  
Уметь производить расчеты при сложном сопротивлении

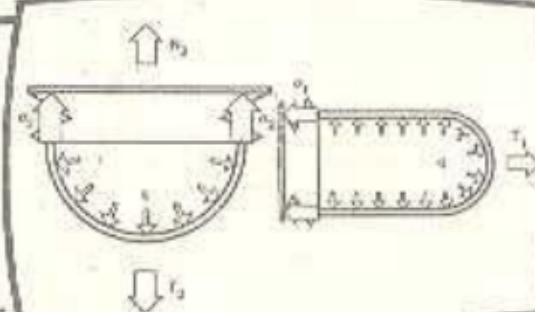
*Otto Mohr*

1835 - 1918

Феноменологический  
подход

Полимеры  
Пластмассы  
Композиты  
Активные  
МАТЕРИАЛЫ  
"История  
нагружения".

СЛОЖНОЕ СОПРОТИВЛЕНИЕ :  
Оценка прочностной надежности  
Критерии пластичности и разрушения  
Гипотеза наибольших касательных напряже-  
ний. Гипотеза энергии изменения формы



Пластичность  
Ползучесть  
Анизотропия  
Нелинейные  
СВОЙСТВА

*A.A.Griffith*

1920 год

МЕХАНИКА

РАЗРУШЕНИЯ

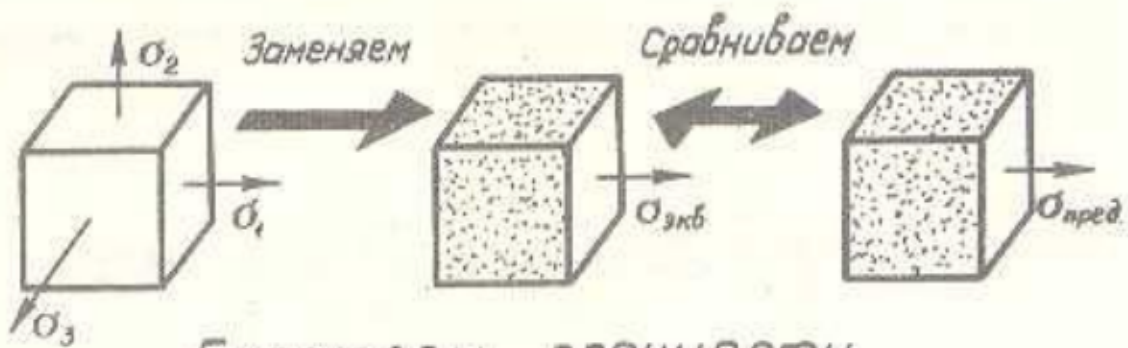


Каковы основные направления развития проблемы  
обеспечения прочностной надежности?



К лекции 5.1 : /I , § 59, 60, 61 с.301...306  
5.2 Примеры 8.1...8.5, с. 306...310; §55  
5.3 § 62 ;  
5.4 § 63, § 64





## Гипотезы прочности

III	Наибольших касательных напряжений	$\sigma_{экв} = \sigma_1 - \sigma_3$	Для пластических материалов
IV	Чудельной потенциальной энергии изменения формы	$\sqrt{\frac{1}{2}[(\sigma_1 - \sigma_2)^2 + (\sigma_2 - \sigma_3)^2 + (\sigma_3 - \sigma_1)^2]} = \sigma_{экв}$	Для пластических материалов точнее, чем III
Мора		$\sigma_{экв} = \sigma_1 - \frac{[\sigma_p]}{[\sigma_c]} \sigma_3$	Универсальна $\sigma_1/\sigma_3 \approx -1$

## Сложное сопротивление



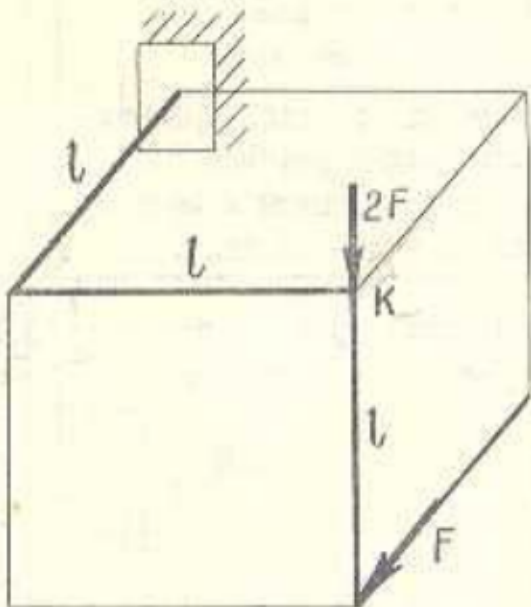
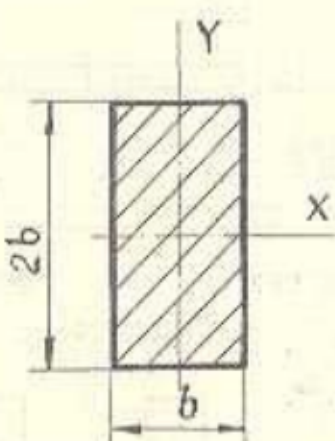
1	Вид деформации	Изгиб с кручением
2	Внутренние силы в опасном сечении	$M_y = Fl, M_K = M$
3	Напряжения	$\sigma_z = M_y/W_y; \tau_z = M_K/W_p$
4	Вид напряженного состояния в опасной точке	Частный случай плоского НС
5	Оценка прочности	$\sigma_{экв} = \sqrt{\sigma_z^2 + 4\tau_z^2} \leq [\sigma];$ $\sigma_{экв} = \sqrt{\sigma_z^2 + 3\tau_z^2} \leq [\sigma]$

ОКОРНАЯ СХЕМА 5.Т



## СЛОЖНОЕ СОПРОТИВЛЕНИЕ

ОЦЕНИТЬ ПРОЧНОСТЬ И ЖЕСТКОСТЬ ЛИНЕЙНО-ДЕФОРМИРУЕМОГО ЛОМАННОГО СТЕРЖНЯ ПРИ СТАТИЧЕСКОМ НАГРУЖЕНИИ



Построить эпюры внутренних сил.

Показать опасное сечение и выделить на нём опасные точки.

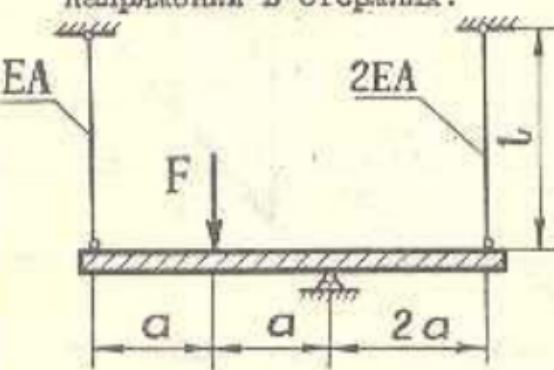
Расположить сечение рационально. Показать главные напряжения в выделенных точках, используя графическое представление НСТ. Провести проверку прочности.

Определить вертикальное перемещение узла К и сделать вывод о прочностной надежности конструкции.

В задачах, приведенных в билете, предлагается:

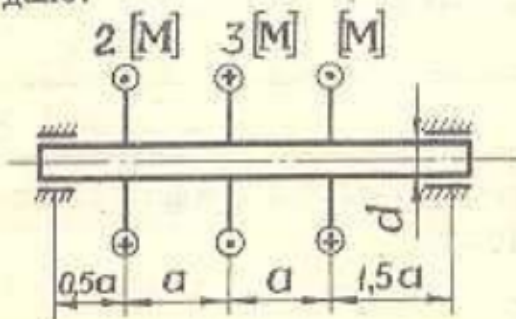
1. Провести анализ нагружения, показать алгоритм решения.
2. Решить задачу.  
Предложить экономически эффективное сечение.
3. Установить границы применимости метода решения.  
Изложить принципы и методы, лежащие в основе темы.

2. Определите уровень напряжений в стержнях.



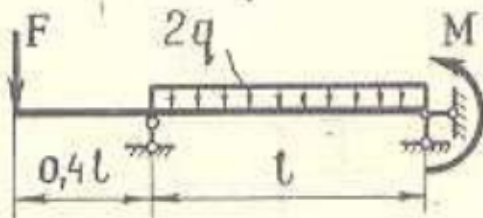
4. Оцените изменение допускаемого момента при заклинивании вала.

Дано:



- 1 Найдите опасное сечение.

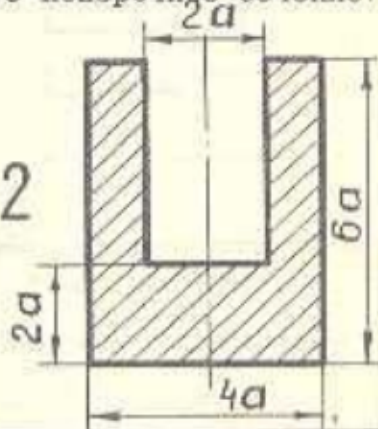
Дано :  $M = 2ql^2$   
 $F = ql$



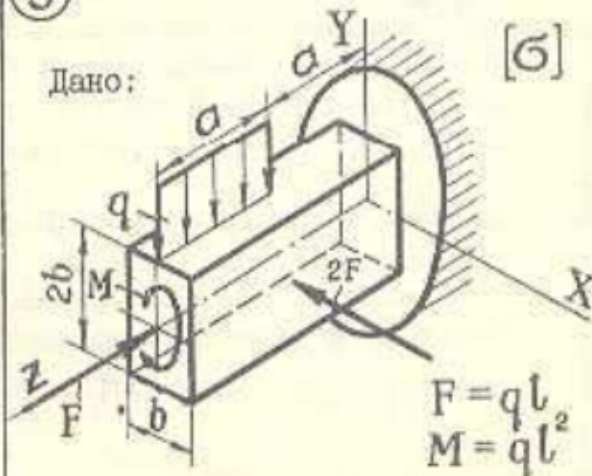
3. Для расчетной схемы 1 вопроса подберите поперечное сечение.

дано:

$$\frac{[\sigma]_c}{[\sigma]_p} = 2$$



- 5 Проведите проверку прочности



Приложение 2

Вариант задания – трехзначное число. Выпишите данные из табл. 2.1 по 1-й цифре варианта, табл. 2.2 – по 2-й, табл. 2.3 по 3-й цифре.

ВАРИАНТ	0	1	2	3	4	5	6	7	8	9
---------	---	---	---	---	---	---	---	---	---	---

Таблица 2.1

$a_1$	0,5	0,3	0,7	0,1	0,1	0,3	0,2	0,1	0,1	0,4
$a_2$	0,8	0,8	0,9	0,7	0,9	0,8	0,4	0,3	0,5	0,7
$a_3$	0,2	0,1	0,2	0,3	0,4	0,5	0,6	0,7	0,8	0,9
$a_4$	1,0	0,6	0,5	0,9	0,7	0,1	1,0	0,5	0,3	0,2

Таблица 2.2

$K$	1,0	1,1	1,2	1,3	1,4	0,5	0,6	0,7	0,8	0,9
$K_1$	1	3	3	1	2	2	1	2	3	4
$K_2$	2	2	1	3	1	3	1	2	3	2
$K_3$	3	1	2	2	3	1	2	3	1	1
$Y_{1,M}$	2,0	-2,0	2,0	-3,0	3,0	-2,5	3,0	-3,0	2,0	2,0
$Y_{2,M}$	-2,0	3,0	3,0	-3,5	-4,0	3,5	3,0	-4,0	-3,5	2,0

Таблица 2.3

$l, \text{м}$	4,0	3,8	3,6	3,4	3,2	3,0	2,8	2,6	2,4	2,2
$A \cdot 10^4, \text{м}^2$	10	9,5	9,0	8,5	8,0	7,5	7,0	6,5	6,0	5,5
$q, \text{кН}/\text{м}$	10	5,0	15	20	25	25	20	15	10	5,0
$\sigma_T, \text{МПа}$	400	380	360	340	320	300	280	260	240	220
$\Delta t, {}^\circ\text{C}$	-50	-45	-40	-35	-30	30	35	40	45	50
$\Delta, \% l$	0,009	-0,01	0,02	-0,03	0,04	-0,05	0,06	-0,07	0,08	-0,09

Общие данные

$$F = ql; M = ql^2; n_T = 1,5; E = 2 \cdot 10^5 \text{ МПа}; G = 5 \cdot 10^4 \text{ МПа}$$

Приложение 3

Таблица 3.1

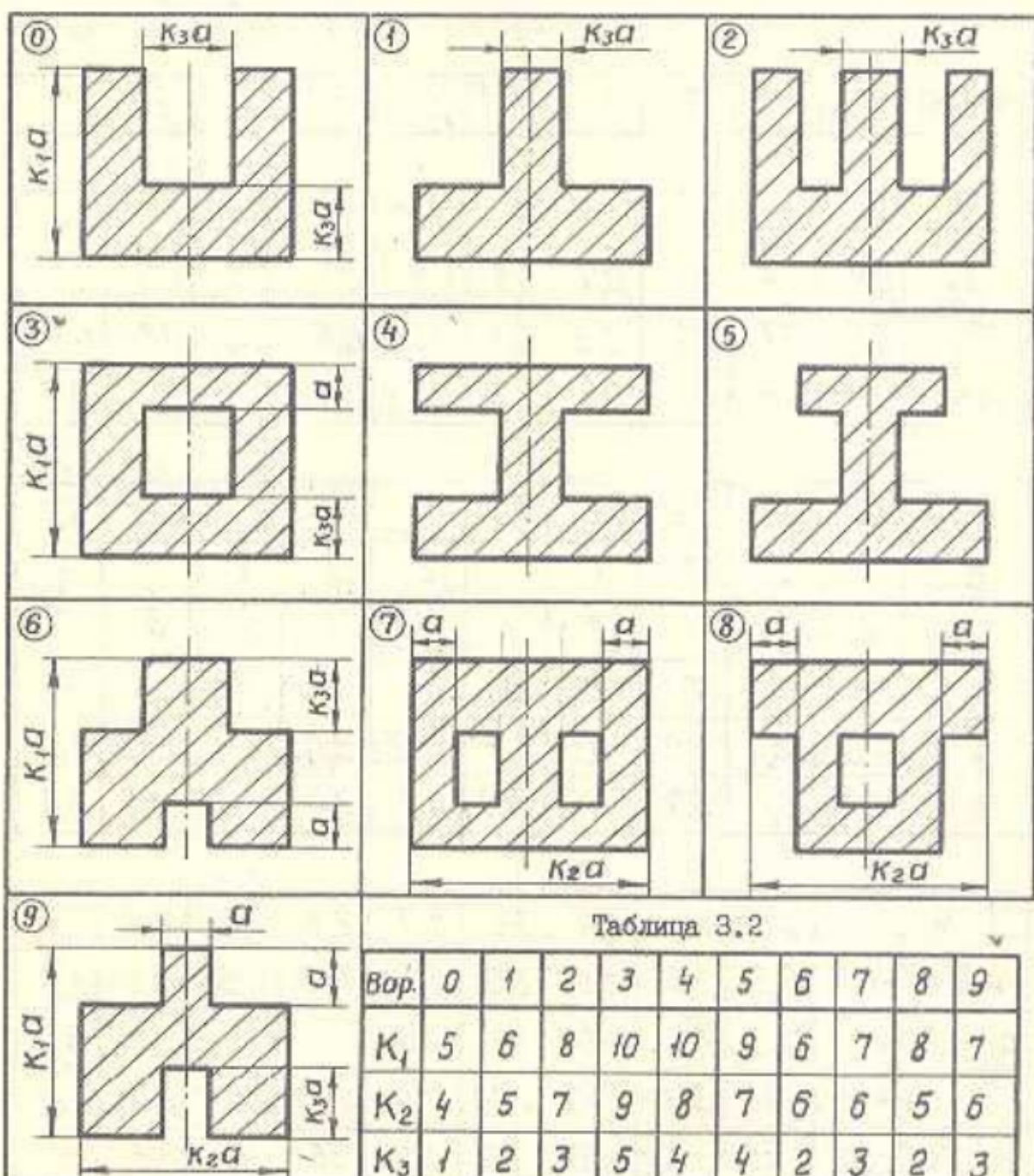


Таблица 3.2

Вар.	0	1	2	3	4	5	6	7	8	9
$K_1$	5	6	8	10	10	9	6	7	8	7
$K_2$	4	5	7	9	8	7	6	6	5	6
$K_3$	1	2	3	5	4	4	2	3	2	3

Таблица 3.3

Предел прочности, МПа	$\sigma_{\text{вр}}$	150	210	120	200	100	300	210	950	320	400
Предел прочности, МПа	$\sigma_{\text{вс}}$	640	600	300	400	350	500	160	490	320	600
Уголок неравнобокий	$N$	25/ 16	18/ 11	15/ 10	14/ 9	20/ 25	18/ 11	15/ 10	14/ 9	20/ 25	25/ 16
Круглое сечение, мм	$d$	100	90	85	80	75	70	65	60	50	40

САМОСТОЯТЕЛЬНАЯ РАБОТА СТУДЕНТОВ ПО  
ДИСЦИПЛИНЕ "СОПРОТИВЛЕНИЕ МАТЕРИАЛОВ"

МЕТОДИЧЕСКИЕ УКАЗАНИЯ

ТАМАРА ГРИГОРЬЕВНА КАРАЧЕНЦЕВА

Редактор Е.С.Поздеева

Корректор Л.Г.Садовская

Подписано в печать 10.05.88 г.

Формат 60x84/16. Печать оперативная.

Бумага оберточная белая. Усл.п.л.2.0.

Уч.-изд.л.2.0

Бесплатно.

Тольяттинский политехнический институт.

Тольятти, Белорусская, 14.